

研

訊

NEWS PATICLES

SEARCH & DISCOVERY
RESEARCH AT ISU & EDH

香茹萃取物對經RANKL誘導形成蝕骨細胞

之抑制作用及其機轉探討

淡談生物分子間的交互作用機制

淺談具備電腦視覺的嵌入式系統

藉由種子層粗化引導奈米銀沉積以

提升超薄AZO/nano-Ag/AZO薄膜光電特性之研究

以食物級大豆油及大豆卵磷脂製備薑黃素微乳液

及其對肝癌細胞株之毒性試驗

今非昔比的共享經濟

洪哲穎

楊佩琨

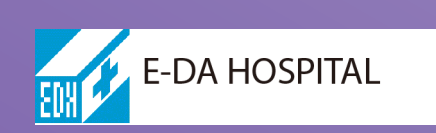
曾遠威

-林彥勝

李玫樺

蔡璧如





# 目錄

<b>消息報導</b>	3
大手牽小手成效佳 義大榮獲高瞻特色獎	3
義大與樂高總代理貝登堡簽署機器人區域中心	8
義大材料郭妍伶實驗成果 獲日教授青睞	16
義守大學擠身全球千大高等學府之列	23
中南部第一 義大搶先通過新版ISO 27001資安認證	30
文稿	35
香茹萃取物對經RANKL誘導形成蝕骨細胞	
之抑制作用及其機轉探討	35
淺談生物分子間的交互作用機制	47
淺談具備電腦視覺的嵌入式系統	53
藉由種子層粗化引導奈米銀沉積以	
提升超薄AZO/nano-Ag/AZO薄膜光電特性之研究	61
以食品級大豆油及大豆卵磷脂製備薑黃素微乳液	
及其對肝癌細胞株之毒性試驗	76
今非昔比的共享經濟	86
括動	90
機會	96
編輯室	104

# 大手牽小手成效佳 義大榮獲高瞻特色獎

行政院科技部公布103年度高瞻計畫第二期程高中職學校成果,義守大學教授楊智惠及其團隊,共同執行高瞻計畫表現優異,獲得「高瞻特色獎」殊榮,所輔導的國立南科實驗高級中學、高雄市立瑞祥高級中學也獲得「特優高瞻學校獎」。



義守大學獲得103年度高瞻計畫第二期程「高瞻特色獎」

義大與南科實中、瑞祥高中及台東女中共同研發高中應 用生物課程融入式實驗教具,已有豐碩成果,目前完成DNA萃

取教具、葉綠素萃取教具、大腸桿菌檢測教具、聚苯乙烯資源回收教具等。

楊智惠表示,四項教具已經試量產,未來將朝精緻化與 商品化方向推動,目標是將此科學教具推廣到全國各級學校, 同時也感謝學校全力的支持,和3所夥伴學校積極的付出,讓 辛苦有了肯定。

瑞祥高中校長林香吟表示,醫藥生技是國家產業重點發展方向,生物科學班特色課程設計以醫藥生技為主軸,培育國家醫藥生技人才,並感謝計畫的全體研究人員。

南科實中校長林坤燦表示,感謝義大高瞻計畫團隊指導,及所有參加高瞻計畫的人員和學生的用心學習,推動計畫 成效優良,才能獲此殊榮。



義大與台東女中、瑞祥高中、南科實中團隊大合照



# Working hand in glove with local senior high schools wins I-Shou University the High-Scope Uniqueness Award

The Ministry of Science and Technology, Executive Yuan, has recently released the results of the second phase for the High Scope Program in general and vocational high schools. Professor Yang Chih-hui and her team put in an excellent performance in the Program, which earned them the High-Scope Uniqueness Award. In addition, National Nanke International Experimental High School and Kaohsiung Municipal Rueisiang High School under the guidance of Professor Yang's team received the High-Scope Excellence Award.



I-Shou University received the High-Scope Uniqueness Award for the second phase of the High Scope Program in 2014.

I-Shou University, National Nanke International Experimental High School, Kaohsiung Municipal Rueisiang High School and National Taitung Girls' Senior High School cooperated closely in developing immersion-oriented experimental teaching aids for applied biology courses in senior high schools. These outstanding efforts have yielded fruitful results, such as teaching aids for the extraction of deoxyribonucleic acid (DNA) and chlorophyll, the testing of Escherichia coli, and polystyrene recycling.

According to Professor Yang, these four teaching aids have been put in pilot production, and future efforts are put into elaboration and commodification, in the hope of promoting the teaching aids to schools at all levels in Taiwan. Professor Yang also expressed her heartfelt gratitude to the University for the full support for the Program and to the three partner high schools for their passionate devotion, both contributing to this achievement.

"Health biotechnology is one of the industrial development priorities in Taiwan," said Principal Lin Hsiang-yin of Kaohsiung Municipal Rueisiang High School. The curriculum for the Biotechnology Class at her school is developed around health biotechnology with an eye to nurturing high school students to become professionals in health biotechnology in the future. Principal Lin, on behalf of her school, deeply appreciated the help

of Professor Yang and her team.

Principal Lin Kun-tsan of National Nanke International Experimental High School also attributed the success in winning the High-Scope Excellence Award to the help of the High Scope Program team from I-Shou University as well as to the time and effort put in by all teaching personnel and students who took part in the Program.



A group photo of teaching personnel and students from I-Shou
University, National Taitung Girls' Senior High School,
Kaohsiung Municipal Rueisiang High School and
National Nanke International Experimental High School



# 義大與樂高總代理貝登堡簽署機器人 區域中心

#### 義大成立智慧機器人研究中心 機器人中學教育向下礼根

高雄義守大學與樂高機器人台灣總代理貝登堡公司,24日 於大樹區校本部簽署合作契約,瑞祥、岡山、新莊、三民與高 苑等多所高雄高中職校主管共同見證。現場同時安排機器人展 示會,進行團體足球賽、旋轉魔術方塊與格門競技,活動熱鬧 又吸睛。



(左)義大校長蕭介夫與(右)貝登堡董事長詹煥禎

義大校長蕭介夫表示,學校智慧型機器人研究與教育推 廣,從早期教學卓越計畫內子計畫,到高屏區域教學中心與精

進高中優質計畫,陸續輔導國、高中發展學生活動。電機資訊 學院將同時成立「智慧機器人研究中心」,結合義大產學合 作,將機器人教育向下札根。

貝登堡董事長詹煥禎提到,機器人是全球運動,例如 google買了8個機器人公司進行研發工作,世界各國每年也舉辦 相關競賽活動。公司未來將提供相關設備與國際交流平台的經 驗,並與義大於9月共同舉辦WRO機器人全國總決賽。

詹煥禎現場分享台灣學生到美國參加2013年世界盃機器 人大賽實況。他說,同學需進行3場各5分鐘英文演說,向評審 傳達機器人設計理念,深富多元智能的教育意義。



義大校長蕭介夫現場試玩足球機器人

電機資訊學院院長莊景文表示,機器人產業前景寬廣, 義大世界著名娛樂設施「飛越台灣」,就是機器人應用一環, 未來學校機器人研究中心將與娛樂結合,成為院內教學研究特 色之一。

電機系馮介川老師談到,義大已陸續輔導瑞豐國中、文山 高中國中部與岡山高中等學校,安排同學擔任各校社團指導老 師,教導組裝機器人並投入參賽,已在高雄市分區賽得到不錯 成績。



簽約會場展示格鬥機器人



A collaboration agreement on a regional robotics center inked between I-Shou University and K-Kingdom, the general sales agent for Lego Mindstorms in Taiwan

An intelligent robotics research center will soon be inaugurated at I-Shou University, aiming at promoting robotics education to high schools.

On June 24, 2014, I-Shou University concluded a collaboration agreement with K-Kingdom, the general sales agent for Lego Mindstorms in Taiwan, at its Main Campus in Dashu District, Kaohsiung City. Officials from several general and vocational high schools were invited to witness the signing of the collaboration agreement, including Kaohsiung Municipal Rueisiang High School, National Kangshan Senior High School, Kaoshiung Municipal Sinjhuang Senior High School, Kaohsiung Municipal Sanmin Senior High School, and Kao-Yun Vocational High School of Technology & Commerce. In addition, a mini-robotics exhibition outside the signing venue was bustling with activities, including

robot football games, Rubik's Cube competitions and a robot fighting show, attracting much attention.



A photo taken of President Shaw Jei-fu of I-Shou University (left) and Mr. Zhan Huan-zhen, President of K-Kingdom (right)

According to Dr. Shaw Jei-fu, President of I-Shou University, the University has long been promoting research and education in intelligent robotics on different occasions, including ISU Teaching Excellence Project, KKP Inter-University Resource Center for Teaching and Learning, and Senior High School Actualization Program, and assisting junior and senior high schools in designing robotics-related learning activities. In addition, the College of Electrical and Information Engineering will soon establish an intelligent robotics research center, aiming at promoting robotics

education to the younger generation by integrating industryuniversity collaboration resources available at I-Shou University.

"Robotics research and development is all the rage around the world," said Mr. Zhan Huan-zhen, President of K-Kingdom. Google, for instance, bought eight robot companies in 2013 for robotics research and development, and different robot competitions are taking place around the world every year. In the future, K-Kingdom will provide I-Shou University with related equipment as well as its experience in participating in international exchange programs. Moreover, K-Kingdom will work hand-in-glove with I-Shou University to hold the Taiwan national finals of the World Robot Olympiad (WRO) 2014 in September this year.



President Shaw Jei-fu of I-Shou University plays with a football robot.

In his speech, Mr. Zhan also mentioned Taiwanese students' participation in the WRO 2013 held in the U.S.A. These students were required to give three speeches in English, five minutes each, to explain to judges the rationale behind the design of their robots, which he thinks is beneficial to the development of students' multi-intelligence.

According to Dr. Chuang Chin-wen, Dean of the College of Electrical and Information Engineering, the robotics industry is flourishing nowadays, and "Soarin' Over Taiwan," one of the most popular amusement rides at E-DA Theme Park, is a representative example of the application of robotics. In the future, the research effort of the intelligent robotics research center will be directed toward entertainment and recreation, which will surely become one of the College's distinctive features.

Dr. Feng Chieh-chuan of the Department of Electrical Engineering mentioned that the University has already offered counseling and guidance to Municipal Ruei Feng Junior High School, Wen-Shan Senior High School (the affiliated junior high school), and National Kangshan Senior High School. Some students are sent to these high schools to serve as club supervisors, teaching junior and senior high students how to assemble robots as well as helping them to take part in competitions. So far, satisfactory

outcomes have been achieved in the southern regional contest of the WRO Taiwan 2014.



A robot fighting show outside the signing venue



# 義大材料郭妍伶實驗成果 獲日教授青睞

高雄義守大學材料科學與工程學系研究所畢業的郭妍伶, 日前獲得日本東京首都大學機械系材料組博士錄取資格,並取 得2014年亞洲人力資源基金(Asian Human Resources Fund)海外 留學生獎學金,學費、住宿費全免,每年還可獲得260萬日圓 (約台幣78萬)的生活補助費。

郭妍伶靠著航太金屬接合技術的研究成果,在眾多申請人中脫穎而出,她大三開始接觸金屬接合技術的開發,已有四年的研發經驗,並在產業界實際操作,讓日本教授Koji Kakehi印象深刻,認為她「將來很有機會在日本直接就業」。

大學在義大就讀的郭妍伶,父母希望她可以念國立的研究所,但她覺得在義大可以和老師們學到更多,也能在相關領域上更專精,堅持留下來,並且從誤打誤撞的選擇接合技術,到現在越來越有興趣,前往日本深造,她說「自己當初的決定做對了」。

郭妍伶半年前開始蒐集面試資料,透過網路和前輩意見交流,選修全英語授課的課程,除此之外,103年她獲得斐陶斐榮譽會員的殊榮,以及台灣銲接協會的優秀獎學金,面試過程

中帶領日本教授參訪合作廠商,加強教授對自己實務經驗的肯定。



郭妍伶(右)與日本教授Koji Kakehi合照

義大和首都大的學術交流較少,也非姊妹校,郭妍伶希望 自己能成為義大和首都大學良好溝通的橋樑,以及將來學弟妹 們意見諮詢的窗口。

日本東京首都大學今年只提供7名亞洲人力資源基金海外留學生獎學金,5名為環境科學領域,只有2個名額為其它領域,需要很努力才能取得資格。郭妍伶過去努力的研究成果能協助教授Koji Kakehi未來研究上的需求,才順利讓義大的學生

獲得錄取資格。

亞洲人力資源基金由日本東京都廳於2008年設置,專門接收亞洲各地區有才華的學生,通過各種研究發現亞洲的發展, 台灣至2013年只有五位留學生順利獲得此獎學金。



郭妍伶將前往日本深造航太金屬接合技術



Experiment results achieved by Guo
Yan-ling, a student from Department of
Materials Science and Engineering at
I-Shou University, impresses a Japanese
professor

Guo Yan-ling, a graduate from the master's program at the Department of Materials Science and Engineering at I-Shou University, has recently been accepted to the doctoral program at the Department of Mechanical Engineering at Tokyo Metropolitan University in Japan, and granted a substantial scholarship funded by the Asian Human Resources Fund. She will not only enjoy exemption from the tuition and accommodation fees, but she will receive an annual living allowance of 2.6 million Japanese yens (approx. 780 thousand New Taiwan dollars).

Guo stood out from a group of applicants by her notable research achievements in aerospace metal bonding technology. She began to work in the field of the research and development in the area of metal bonding technology in the junior year. Impressed by Guo's four year's experience in this field and practical industrial

training, Professor Koji Kakehi from the Department of Mechanical Engineering at Tokyo Metropolitan University said that she has a strong chance of obtaining employment in Japan after graduation.

Although her parents expected her to pursue master's studies at a national university, Guo believed that she would learn more from faculty members to improve the breadth and depth of her studies if studying at I-Shou University where she obtained her bachelor's degree. She, therefore, continued studying at I-Shou University and chose bonding technology as her research interest. From a novice at this field to someone who is entirely devoted and about to pursue further studies in Japan, "This is one of the best decisions I have made in my life," said Guo.

Guo began preparations as early as half a year prior to the admission interview, exchanging points of view via the Internet with her senior fellow students and taking courses which are taught only in English. In 2014, she was selected as a member of the Phi Tau Phi Scholastic Honor Society of the Republic of China and awarded a scholarship by Taiwan Welding Society. During the admission interview, Guo took the Japanese professor to visit companies in relevant industries to strengthen his impression of her practical experience.



A photo taken of Guo Yan-ling (right) and Professor Koji Kakehi from Japan

There are few academic exchanges between I-Shou University and Tokyo Metropolitan University, and no partnership has been established so far. Guo expects to become a bridge between the two institutions and a consulting window for her juniors.

This year, Tokyo Metropolitan University granted the international student scholarship funded by the Asian Human Resources Fund to seven Asian students only, five of whom specialize in environmental sciences and the other two in other

disciplines. This required more time and effort to become qualified for the scholarship. Guo was successfully accepted because her research achievements are highly beneficial to Professor Kakehi's future research endeavors.

Established by the Tokyo Metropolitan Government in 2008, the Asian Human Resources Fund aims at recruiting excellent Asian students to boost regional development in Asia through a wide range of research. As of the end of 2013, as few as five students in Taiwan were granted the international student scholarship.



Guo Yan-ling is about to leave for Japan for further education in aerospace metal bonding technology.



#### 義守大學擠身全球干大高等學府之列

世界大學排名中心(Center for World University Ranking, 簡稱CWUR)調查全球22,000所學位授予機構,日前公布2014年 前1,000名高等學府,高雄義守大學為994名,名列全球前4.6% 表現優異學校,其中教師品質排名全世界第210名、教學品質 第355名(全國第五)和畢業生就業表現第478名(全國第8),教師 品質與國內台清交成等頂尖大學並列同一級數,表現最為亮 眼。



世界大學CWUR排名994、教師品質(210名)與教學品質(335名)最為出色

今年台灣有25所大學擠進這個排行榜,分別是台灣大學(65名)、成功大學(246名)、交通大學(411名)、清華大學(418名)、陽明大學(534名)、中央大學(第565名)等多所名校,義大全國排名第23。若以區域來分,則是東臺灣與南臺灣私立綜合大學第一,若納入國立大學則排名第四,僅次於國立成功大學、國立中山大學。

世界大學排名中心(CWUR)發布的世界大學排名,是全球所有大學排名中,唯一不仰賴調查及大學繳交的數據,將教育及學生訓練品質、教師名望及其研究品質同時納入考量的排名。

此排名使用八個項目評比,分別為教學品質(25%)、畢業生就業情況(25%)、教師品質(25%)、出版物(5%)、影響力(5%)、論文引用數(5%)、廣泛影響力(5%)、國際專利申請數量(5%),其中主要三大評比項目的教學品質,評比標準為獲得重大國際獎項、獎金和獎牌的畢業生數量;畢業生就業表現以目前於全球頂尖公司擔任執行長一職的畢業生數量為主;教師品質部分則以獲得重大國際獎項、獎金和獎金的學術人員數量為主,這三項評比義大與台灣各國立大學皆在同一標竿。該網站去年僅公布全球排名前百大,今年則擴增至前千大。

義大校長蕭介夫表示,義大在師資及教學品質一向堅持,所有工程相關系所皆通過IEET認證,去年高教評鑑中心評鑑系所及通識教育為全國唯一全數通過的大學,並獲教育部所

評選南部第一的教學卓越綜合大學。

他說,為了與國際接軌,義大擁有來自32國2,000位境外生,國際學院與去年九月開班的學士後醫學系國際專班,皆為全英語授課。商管學院則參與AACSB國際商管認證。這些傑出表現皆展現義大在教學與國際化受到國際的高度肯定。

另一方面,與國際化同屬學校特色教育的學用合一,義 大與國內各大學並列第478名,顯示義大學用合一的特色。

世界大學排名中心網站 http://cwur.org/2014/



# I-Shou University ranked among top 1,000 global institutions of higher education, released by CWUR

The Center for World University Rankings (CWUR) has recently released the 2014 top 1,000 global institutions of higher education based on a population of 22,000 degree-granting institutions of higher education worldwide. I-Shou University, located in Kaohsiung City, Taiwan, was ranked 994th in the world (among the top 4.6% worldwide), 210th in Quality of Faculty, 355th in Quality of Education (5th in Taiwan), and 478th in Alumni Employment (8th in Taiwan). I-Shou University put in an excellent performance with the indicator of Quality of Faculty in particular, being ranked at the same level as such top-notch Taiwanese universities as National Taiwan University, National Tsing Hua University, National Chiao Tung University, and National Cheng Kung University.

This year, a total of 25 Taiwan-based universities were included in the world ranking, and National Taiwan University (65th) topped the list, followed by National Cheng Kung University (246th), National Chiao Tung University (411th), National Tsing Hua

University (418th), National Yang-Ming University (534th), and National Central University (565th). I-Shou University was ranked 23rd nationwide, and from a regional perspective, it was ranked 1st among private comprehensive universities in southern and eastern Taiwan, and 4th, following National Cheng Kung University, National Sun Yat-sen University and National Chung Cheng University when national universities are considered.

What makes the CWUR rankings special is that it is the only global university ranking process that measures the quality of education and training of students as well as the prestige of the faculty members and the quality of their research without reliance on surveys and university data submissions.

CWUR uses eight different indicators to rank the world's top 1,000 universities, including Quality of Education (25%), Alumni Employment (25%), Quality of Faculty (25%), Publications (5%), Influence (5%), Citations (5%), Broad Impact (5%), and Patents (5%). Among them, the three major indicators are Quality of Education, measured by the number of a university's alumni who have won major international awards, prizes, and medals; Alumni Employment, measured by the number of a university's alumni who currently hold CEO positions at the world's top companies; and Quality of Faculty, measured by the number of academics who

have won major international awards, prizes, and medals. I-Shou University was ranked in the same place for these three indicators with national universities in Taiwan. In the 2014 edition, the number of universities included in the ranking increased tenfold to 1,000 from 100 last year.

Dr. Shaw Jei-fu, President of I-Shou University, said that the University has long given high priority to the quality of faculty and the education it provides. All the engineering-related departments were duly accredited by the Institute of Engineering Education Taiwan in 2009. I-Shou University not only passed with flying colors the 2013 Evaluation of General Education and the Second-Cycle Program Evaluation conducted by the Higher Education Evaluation & Accreditation Council of Taiwan, making it the only institution in Taiwan to pass these two evaluations at once, but it was accredited by the Ministry of Education as the No.1 teaching excellence comprehensive university in southern Taiwan.

According to President Shaw, in order to keep pace with the international trend in higher education, I-Shou University currently has some 2,000 international students from 32 countries, courses offered by the International College and the newly-established School of Medicine for International Students are taught only in English, and the College of Management has long promoted

the AACSB Accreditation. These are some impressive examples of the global recognition I-Shou University has received for its contributions to decent higher education and internationalization.

In addition to internationalization, increased emphasis on an effective blend of classroom instruction and practical experience is another distinctive feature of I-Shou University. Being ranked in the same place (478th) with most of the ranked Taiwanese universities with regard to Alumni Employment highlights its endeavors in promoting an integration of theory and practice.

Center for World University Rankings (CWUR): http://cwur.org/2014/



I-Shou University was ranked 994th worldwide with the best performance on "Quality of Faculty" (210th) and "Quality of Education" (335th).



# 中南部第一義大搶先通過 新版ISO 27001資安認證

高雄義守大學圖書與資訊處於日前通過新版資安認證標準ISO 27001:2013,為中南部第一所通過新版國際驗證的大專院校。圖資處處長沈季燕表示,義大一向重視資訊安全管理,在學校大力支持和圖資處同仁努力下,才能在ISO 27001:2013推出一年內通過新版驗證。



中南部第一 義大搶先通過新版ISO 27001資安認證

國際標準組織於去年十月推出新改版的資安認證標準 ISO 27001:2013,將控制領域和控制措施條文減少,但內容 更深。獲得新版證書後,每年須定期追查,每三年重新驗證更 換證書,以確保資訊安全工作的落實,進而提供優良的資訊服 務。

沈季燕表示,圖資處經由系統化的資訊安全管制措施, 善用資訊科技並降低資訊安全風險,促進校務發展效能。她也 強調資訊安全維護絕不能只依靠管控機制和相關制度,建立 「資訊安全、人人有責」的資安觀念,才能有效降低資安事件 的發生。

圖資處在導入與執行新版資安制度的過程中,除了將各項資訊作業標準化外,所遇最大困難就是人們對於資訊安全的 疑慮,以及不斷推陳出新的科技對資訊環境的威脅;因此如何 能持續貫徹資訊管理機制,落實「資訊安全管理」的工作,就 成為不可或缺的一環。



I-Shou University becomes ISO
27001:2013 certified, making it the
first among universities and colleges in
central and southern Taiwan

The Office of Library and Information Services at I-Shou University has recently become ISO 27001:2013 certified, making the University the first institution of higher education in central and southern Taiwan to meet the latest information security standard published by the International Organization for Standardization (ISO). According to Professor Shen Chi-yen, Dean of Library and Information Services, I-Shou University has long placed great importance on information security management, and her office's success in achieving the latest ISO standard within one year of its publication was attributed to full support from the University as well as the time and effort made by her colleagues.



I-Shou University is the first institution of higher education in central and southern Taiwan to become ISO 27001:2013 certified.

The International Organization for Standardization (ISO) published the latest vision of ISO 27001 (ISO 27001:2013) in October 2013, with fewer clauses on controls and more detailed information. After getting ISO 27001:2013 certified, I-Shou University will receive a surveillance visit every year and a certification audit every three years, in order to ensure information security and offer better information services.

Currently, the Office adopts systematic measures for information security and makes good use of leading-edge information technology to minimize information security risks as well as maximize the University's development effectiveness, Dean Shen said. She also emphasized that information security does not only

lie in control mechanisms or systems. Raising public awareness of information security is the key to preventing information security incidents.

During the process of introducing and implementing the newest information security management system, the Office had to not only standardize each and every step of information security management but also respond to a great challenge: public doubt about information security, and information security threats posed by ever-changing technology. As a result, the Office's next step is to continue maximizing the effectiveness and efficiency of the information security management mechanism to bring information security management into full play.



# 香茹萃取物對經RANKL誘導形成蝕 骨細胞之抑制作用及其機轉探討



洪哲穎<sup>1</sup>、王世緯<sup>2</sup>、郭涵君<sup>3</sup>

義守大學營養學系、生物技術與化學工程研究所合聘教授 義大醫院內科部過敏免疫風濕科代理主任<sup>2</sup> 義大醫院內科部過敏免疫風濕科研究助理

#### 摘要

研究利用Receptor activator of nuclear factor-κB ligand (RANKL) 誘導RAW264.7巨噬細胞進行細胞分 化以形成蝕骨細胞之模式,針對香茹 乙醇萃取物抑制蝕骨細胞分化及形成 之作用進行評估。實驗結果顯示,香 茹萃取物具有抑制由RANKL誘發形成 **蝕骨細胞之作用,其可在未造成巨噬** 細胞毒性的情形下抑制由RANKL誘發 之多核蝕骨細胞的TRAP活性及其形 成。香茹萃取物可經由減少NF-KB及 MAPKs (包括JNK 和ERK) 的活化來 抑制蝕骨細胞分化;其亦降低除PI3K 外的蝕骨細胞存活路徑相關訊號分子 的表現,包括NF-κB、JNK、p38、 MAPK、ERK及AKT等等。再者,香

茹萃取物可誘導caspase-3及caspase-9的活化,而導致成熟蝕骨細胞的凋亡。 本研究顯示香茹萃取物能抑制蝕骨細胞之分化及形成,因此具有應用於輔助治療過度蝕骨細胞生成及骨頭破壞相關疾病之潛力。

關鍵字:香茹、蝕骨細胞、巨噬細胞、訊息傳遞路徑

#### 緒論

骨 點 具 有 再 塑 性 (bone remodeling),藉由蝕骨細胞的吸收作用(bone resorption)及成骨細胞的生成作用(bone formation)形成動態平衡,進行骨骼組織的代謝[1]。若蝕骨細胞與成骨細胞沒有達到平衡,就會形成

骨頭的疾病,例如類風濕性關節炎[2-5]、停經後骨質疏鬆[6]及惡性腫瘤例如乳癌之骨轉移[7]等等,並導致如骨質疏鬆[8]、骨骼畸形、死亡率增加及嚴重的經濟負擔。

蝕骨細胞是單核巨噬細胞衍生出來 的巨型多核巨噬細胞且具有抗酒石磷 酸鈉酶可以破壞骨基質[9-11]。蝕骨作 用的過程包括蝕骨細胞前驅物分化為 單核蝕骨細胞、成熟蝕骨細胞的形成 以及蝕骨細胞的活化[8,9,12]。RANKL 在調節蝕骨細胞的分化及成熟蝕骨細 胞的存活是一個關鍵的因子[9,13]。 RANKL及其接受器RANK會影響腫 瘤相關因子的表現[14,15],如:增加 MAPKs的活性、轉錄因子NF- κ B[16] 及NFATc1[8,17]。這些轉錄因子會影 響蝕骨細胞的分化及成熟蝕骨細胞的 存活[18-20],過度的RANKL訊號誘 導造成蝕骨細胞的過度生成及過度的 骨質吸收及破壞。因此,下降性調控 RANKL的表現及其下游訊號對於治療 病態性骨質流失是一項具有前瞻性的 發展方向。

目前臨床上針對蝕骨細胞相關疾病 的治療,主要為使用蝕骨作用的拮抗 劑,但這些藥物的副作用也相繼被報 導[21]。因此,尋找能有效抑制蝕骨細 胞生成之化合物及透過科學實驗驗證 其作用機轉,將可提供作為預防或治 療骨質疏鬆及蝕骨細胞活化引發之疾 病的新方法。

香茹(Glossogyne tenuifolia; GT)為 澎湖特有中草藥,在當地已經被用來 作為天然的健康食品及草藥。先前的 研究指出,香茹乙醇萃取物(GTE)會經 由NF-κB路徑以延緩前發炎介質及發 炎介質的合成[22,23]。除此之外,未 有任何研究探討香茹萃取物對於骨頭 代謝的生化活性作用。本研究主要討 論香茹萃取物對RAW264.7巨噬細胞經 RANKL活化後蝕骨作用的影響,以及 評估其於預防蝕骨細胞相關疾病的應 用潛力。

#### 材料與方法

#### 杳茹萃取

全株香茹草購自於澎湖的草藥店,經由DNA定序確認確實為香茹草[24]。5.3 公斤的全株香茹草粉末用20 L的酒精萃取1天,共萃取三次,過濾濃縮後用真空冷凍乾糟機將水分去除。萃取總重777 g,香茹草萃取物(GTE)之萃取率約14.7%。

#### 細胞培養及該發蝕骨細胞

RAW267.4細胞購自於BCRC。培養液是DMEM加入10%的胎牛血清及1%的抗生素,將RAW267.4細胞加入50 ng/ml RANKL將細胞誘發為蝕骨細胞培養於5% CO2及37℃中。細胞存活分析係將RAW264.7細胞以1×10<sup>4</sup> cells/well之密度,培養於96孔盤,經24小時細胞貼附後加入不同濃度樣品。之後移除細胞上清液,加入100  $\mu$ l含3-(4,5-dimethylthiazol-2-yl)-2,5-diphenyltetrazolium bromide (MTT) (5 mg/ml) DMEM的培養基。2小時過後,移除上清液後,加入100  $\mu$ l DMSO使formazan溶出,於波長570 nm的ELISA reader測其吸光值。

#### TRAP結性分析及染色

將RAW264.7細胞以5×10³ cells/well之密度,培養於96孔盤,經24小時細胞貼附後加入不同濃度樣品及50 ng/ml的RANKL,每2天更換一次樣品及含有50 ng/ml RANKL的培養液。經過5天的分化後,加入0.1% Triton X-100及等量的 Substrate solution (p-NPP、sodium acetate、sodium tartrate solution)後移至37℃培養箱中。經30分鐘培養,吸除上清液加入0.3 N NaOH 終止反應,並將培養盤移至ELISA reader,以405

nm 之波長偵測其吸光值。而細胞染色 是利用TRAP solution Kit 387-A將細胞 固定並進行染色。以顯微鏡觀察三核 以上的TRAP-positive細胞並計算其數 量。

#### 西方墨點

以不同濃度之SDS電泳膠,將蛋白 質依不同分子量分離,目標蛋白轉漬 至薄膜後,加入一級抗體,利用抗體 與抗原的專一性,再與已接續螢光之 二級抗體結合,在ECL試劑反應後, 膜上與抗體結合位置會發出冷光,再 利用冷光偵測儀測量其蛋白質的表現 量。

#### 統計分析

利用 Student's t-test作統計分析(\*p < 0.05, \*\*p < 0.01, \*\*\*p < 0.001)。

## 結果與討論

當蝕骨細胞成為成熟的蝕骨細胞時,有多種的特性如:形成多核的蝕骨細胞形態、具有抗酒石酸酸性磷酸酵素(Tartrate-Resistant Acid Phosphatase; TRAP)的表現及骨骼溶蝕作用(bone resorption)。本研究首先探討GTE對蝕骨細胞形成的影響;如圖1A和1B所示,GTE能有效抑制經由50 ng/ml RANKL所誘導多核蝕骨細胞的形成,

且呈劑量依存性。圖1C為測試GTE 對形成蝕骨細胞的TRAP活性之抑制 作用,由圖中數據顯示,GTE處理能 有效抑制RAW264.7細胞中的TRAP 活性。再者,由圖1D中可以看出, 在0~100 μg/ml 的GTE濃度範圍內, RAW264.7細胞的存活率皆超過80%以 上,因此GTE對抑制RANKL誘導形成 蝕骨細胞的效應不是因其細胞毒性所 造成的。

先前的研究報導指出NFATc1與蝕 骨細胞的形成有相當有關,NFATc1 蛋白是一個調節蝕骨細胞分化的蛋白 [18,25]。本研究測NFATc1、NF-κB及 MAPKs的蛋白質變化量。由圖2顯示, GTE對於NFATc1、NF-κB及JNK的表 現都有抑制作用,由此可知,GTE抑 制蝕骨細胞的分化是藉由抑制JNK的 路徑,進而抑制了下游的NFATc1的 表現。有許多文獻報導NF-κB可以活 化誘導初始的NFATc1及NFATc2表現 [18,26],因此GTE向下調控了NF-κB的 表現後,NFATc1的表現也受NF-κB的 影響隨之減少。

RANKL與其接受器RANK結合會使 蝕骨細胞進行分化[25],導致MAPKs 家族及NF-κB等蛋白的活化。RANKL 亦會誘導NF-κB的活化,且在蝕骨 細胞的形成中是一個很重要的因素 [26,27],如此的交互作用會誘發蝕骨 細胞的基因表現。本研究隨後探討 GTE 對促進成熟蝕骨細胞凋亡相關蛋白,如PI3K/Akt、ERK、JNK、p38和NF-κB等的影響。由圖3數據顯示,GTE可降低NF-κB、JNK、p38和Akt磷酸化的表現。文獻指出,NF-κB不僅對於分化形成蝕骨細胞時有影響,蝕骨細胞的成熟及存活也會受到NF-κB的影響[28]。因此,GTE能藉由降低相關訊息傳遞因子的表達以有效抑制蝕骨細胞的存活。

在不影響RAW264.7細胞存活的劑量下,GTE對於RANKL誘發之蝕骨細胞生成會產生抑制效應,且有劑量依存性,亦即此抑制作用會隨著GTE濃路徑的增加而益形顯著。在訊息傳遞路徑之影響方面,GTE會抑制RANKL所誘導NFATc1之活化及NF-KB及JNK的磷酸化,以抑制蝕骨細胞的生成的明者,GTE亦會降低蝕骨細胞存活的相關息傳遞分子,如:NF-KB、JNK、p38、ERK及PI3K/AKT等之磷酸化,以促進成熟蝕骨細胞的凋亡。此二作用之相關基因訊息傳遞路徑,彙整如圖4所示。

#### 結論

綜上所述,GTE可有效抑制蝕骨細胞之分化及成熟蝕骨細胞的存活,因此GTE對於蝕骨細胞過度生成及骨頭破壞等相關疾病具有預防或輔助治療之應用潛力,值得再進一步評估。

#### 參考文獻

- [1] S. C. Manolagas (2000), Birth and death of bone cells: basic regulatory mechanisms and implications for the pathogenesis and treatment of osteoporosis, *Endocrine Reviews*, vol. 21, pp. 115-137.
- [2] M. Feldmann, F. M. Brennan, and R. N. Maini (1996), Role of cytokines in rheumatoid arthritis, *Annual Review of Immunology*, vol. 14, pp. 397-440.
- [3] A. Gough, P. Sambrook, J. Devlin, A. Huissoon, C. Njeh, S. Robbins, T. Nguyen, and P. Emery (1998), Osteoclastic activation is the principal mechanism leading to secondary osteoporosis in rheumatoid arthritis, *The Journal of Rheumatology*, vol.

- 25, pp. 1282-1289.
- [4] A. R. Pettit, H. Weedon, M. Ahern, S. Zehntner, I. H. Frazer, J. Slavotinek, V. Au, M. D. Smith, and R. Thomas (2001), Association of clinical, radiological and synovial immunopathological responses to anti-rheumatic treatment in rheumatoid arthritis, *Rheumatology*, vol. 40, pp. 1243-1255.
- [5] E. Romas, M. T. Gillespie, and T. J. Martin (2002), Involvement of receptor activator of NF-κB ligand and tumor necrosis factor-α in bone destruction in rheumatoid arthritis, *Bone*, vol. 30, pp. 340-346.
- [6] M. Varenna and D. Gatti (2010),

  The role of rank-ligand inhibition in the treatment of postmenopausal osteoporosis, *Reumatismo*, vol. 62, pp. 163-171.
- [7] S. Kitazawa and R. Kitazawa (2002), RANK ligand is a prerequisite for cancer-associated osteolytic lesions, *The Journal of Pathology*, vol. 198, pp. 228-236.
- [8] W. J. Boyle, W. S. Simonet, and D. L. Lacey (2003), Osteoclast

- differentiation and activation, *Nature*, vol. 423, pp. 337-342.
- [9] P. Collin-Osdoby and P. Osdoby (2012), RANKL-mediated osteoclast formation from murine RAW 264.7 cells, *Methods in Molecular Biology*, vol. 816, pp. 187-202.
- [10] T. Miyamoto (2011), Regulators of osteoclast differentiation and cellcell fusion, *The Keio Journal of Medicine*, vol. 60, pp. 101-105.
- [11] T. Suda and N. Takahashi (1991),
  Origin of osteoclasts and the
  role of osteoblasts in osteoclast
  differentiation, *Nihon Seikeigeka Gakkai Zasshi*, vol. 65, pp. 261-270.
- [12] G. A. Rodan and T. J. Martin (2000), Therapeutic approaches to bone diseases, *Science*, vol. 289, pp. 1508-1514.
- [13] K. Fuller, J. M. Owens, and T. J. Chambers (1998), Induction of osteoclast formation by parathyroid hormone depends on an action on stromal cells, *The Journal of Endocrinology*, vol. 158, pp. 341-350.
- [14] B. G. Darnay, V. Haridas, J. Ni, P.

- A. Moore, and B. B. Aggarwal (1998), Characterization of the intracellular domain of receptor activator of NF-κB (RANK). Interaction with tumor necrosis factor receptor-associated factors and activation of NF-κB and c-Jun N-terminal kinase, *The Journal of Biological Chemistry*, vol. 273, pp. 20551-20555.
- [15] B. R. Wong, R. Josien, S. Y. Lee, M. Vologodskaia, R. M. Steinman, and Y. Choi (1998), The TRAF family of signal transducers mediates NF-κB activation by the TRANCE receptor, *The Journal of Biological Chemistry*, vol. 273, pp. 28355-28359.
- [16] D. V. Novack (2011), Role of NF-B in the skeleton, *Cell Research*, vol. 21, pp. 169-182.
- [17] Z. H. Lee and H. H. Kim (2003),
  Signal transduction by receptor activator of nuclear factor
  B in osteoclasts, *Biochemical and Biophysical Research Communications*, vol. 305, pp. 211-214.
- [18] F. Ikeda, R. Nishimura, T. Matsubara, S. Tanaka, J. Inoue, S.

- V. Reddy, K. Hata, K. Yamashita, T. Hiraga, T. Watanabe, T. Kukita, K. Yoshioka, A. Rao, and T. Yoneda (2004), Critical roles of c-Jun signaling in regulation of NFAT family and RANKL-regulated osteoclast differentiation, *The Journal of Clinical Investigation*, vol. 114, pp. 475-484.
- [19] Y. Kim, K. Sato, M. Asagiri, I.

  Morita, K. Soma, and H. Takayanagi
  (2005), Contribution of nuclear
  factor of activated T cells c1 to
  the transcriptional control of
  immunoreceptor osteoclast-associated
  receptor but not triggering receptor
  expressed by myeloid cells-2 during
  osteoclastogenesis, *The Journal of Biological Chemistry*, vol. 280, pp.
  32905-32913.
- [20] H. Takayanagi, S. Kim, T. Koga,
  H. Nishina, M. Isshiki, H. Yoshida,
  A. Saiura, M. Isobe, T. Yokochi, J.
  Inoue, E. F. Wagner, T. W. Mak, T.
  Kodama, and T. Taniguchi (2002),
  Induction and activation of the
  transcription factor NFATc1 (NFAT2)
  integrate RANKL signaling in

- terminal differentiation of osteoclasts, *Developmental Cell*, vol. 3, pp. 889-901.
- [21] C. Dannemann, K. W. Gratz, M. O. Riener, and R. A. Zwahlen (2007), Jaw osteonecrosis related to bisphosphonate therapy: a severe secondary disorder, *Bone*, vol. 40, pp. 828-834.
- [22] C. L. Ha, C. Y. Weng, L. Wang,
  T. W. Lian, and M. J. Wu (2006),
  Immunomodulatory effect
  of *Glossogyne tenuifolia* in
  murine peritoneal macrophages
  and splenocytes, *Journal of Ethnopharmacology*, vol. 107, pp.
  116-125.
- [23] M. J. Wu, L. Wang, H. Y. Ding, C. Y. Weng, and J. H. Yen (2004), *Glossogyne tenuifolia* acts to inhibit inflammatory mediator production in a macrophage cell line by downregulating LPS-induced NF-κB, *Journal of Biomedical Science*, vol. 11, pp. 186-199.
- [24] H. F. Hsu, J. Y. Houng, C. L.Chang, C. C. Wu, F. R. Chang, and Y.C. Wu (2005), Antioxidant activity,

# 文摘

- cytotoxicity, and DNA information of *Glossogyne tenuifolia*, *Journal of Agricultural and Food Chemistry*, vol. 53, pp. 6117-6125.
- [25] M. Asagiri, K. Sato, T. Usami, S. Ochi, H. Nishina, H. Yoshida, I. Morita, E. F. Wagner, T. W. Mak, E. Serfling, and H. Takayanagi (2005), Autoamplification of NFATc1 expression determines its essential role in bone homeostasis, *The Journal of Experimental Medicine*, vol. 202, pp. 1261-1269.
- [26] A. Bruzzaniti, and R. Baron (2006), Molecular regulation of osteoclast activity, *Reviews in Endocrine & Metabolic Disorders*, vol. 7, pp. 123-139.
- [27] H. Takayanagi (2007), Osteoclast differentiation and activation, *Clinical Calcium*, vol. 17, pp. 484-492.
- [28] N. Kobayashi, Y. Kadono, A. Naito, K. Matsumoto, T. Yamamoto, S. Tanaka, and J. Inoue (2001), Segregation of TRAF6-mediated signaling pathways clarifies its role in osteoclastogenesis, The EMBO Journal, vol. 20, pp. 1271-1280.

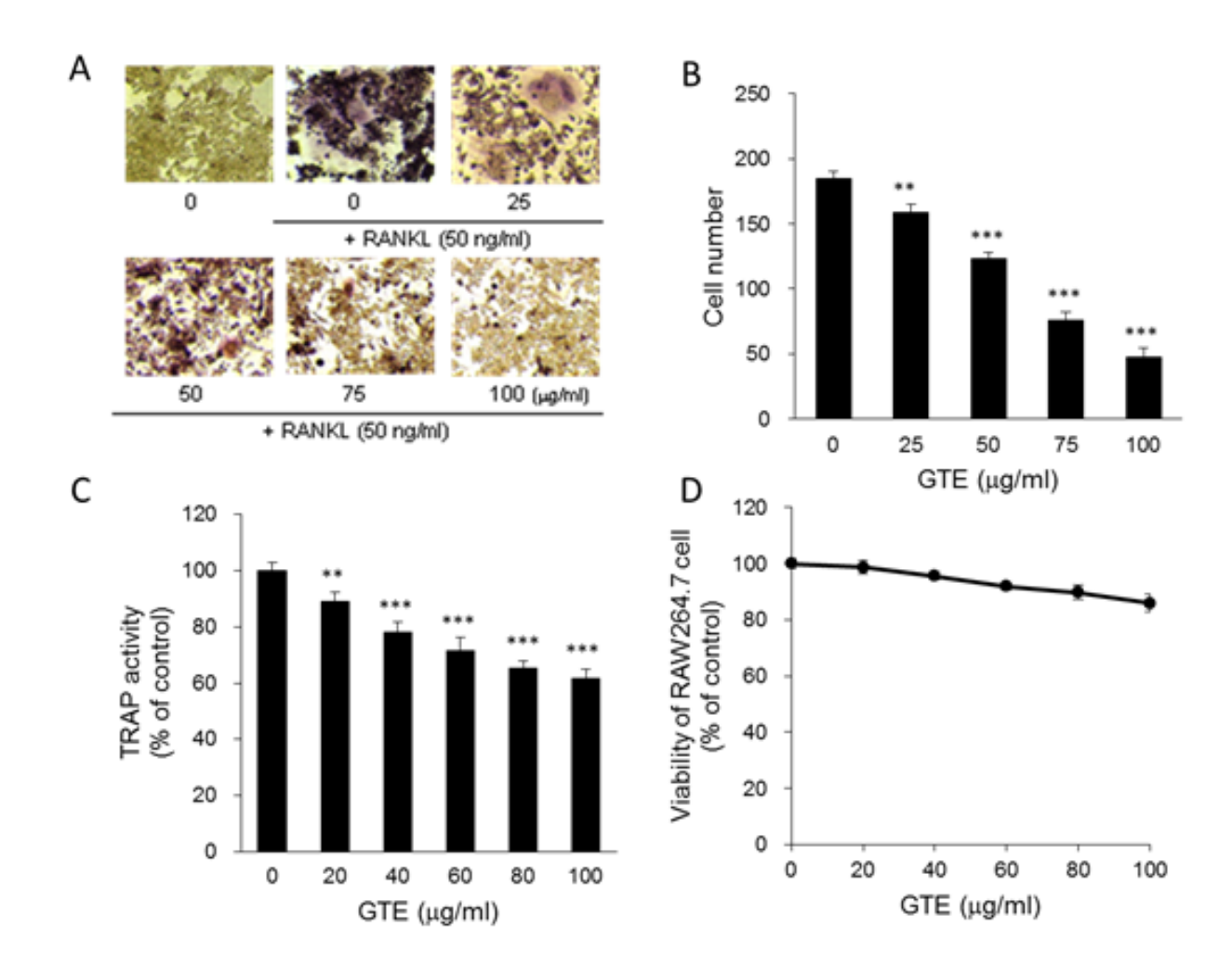


圖1、GTE對於蝕骨細胞分化及細胞毒性的影響。 圖A及B為GTE對於蝕骨細胞分化形態及數量的影響; 圖C為GTE抑制蝕骨細胞TRAP活性的結果; 圖D測試GTE對於RAW264.7細胞之毒性。

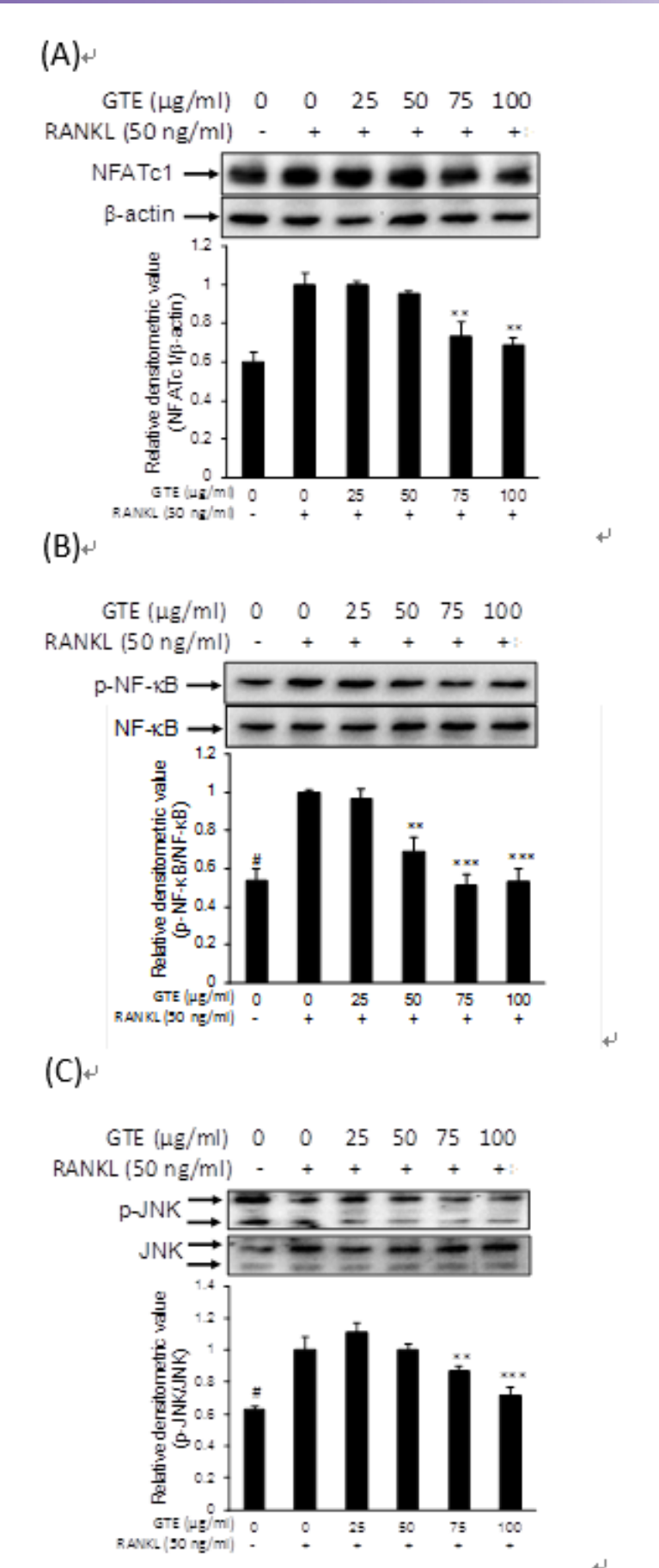


圖2、利用西方墨點法測試GTE對於RAW264.7細胞中 NFATc1、NF-κB及MAPKs的蛋白質表現。

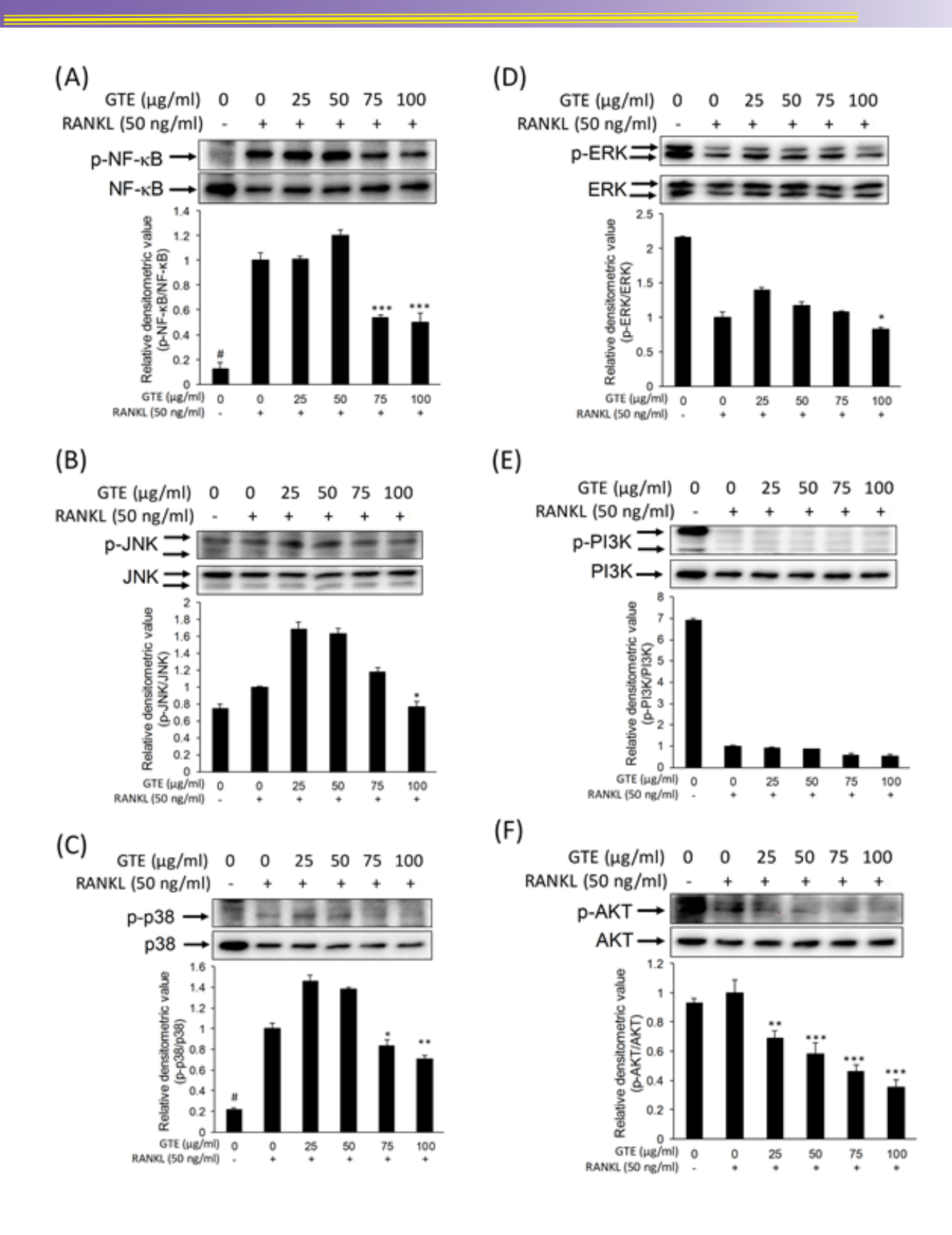


圖3、GTE影響成熟蝕骨細胞存活的活性測試。其中,成熟蝕骨細胞 是由RAW264.7細胞分化培養5天所取得。

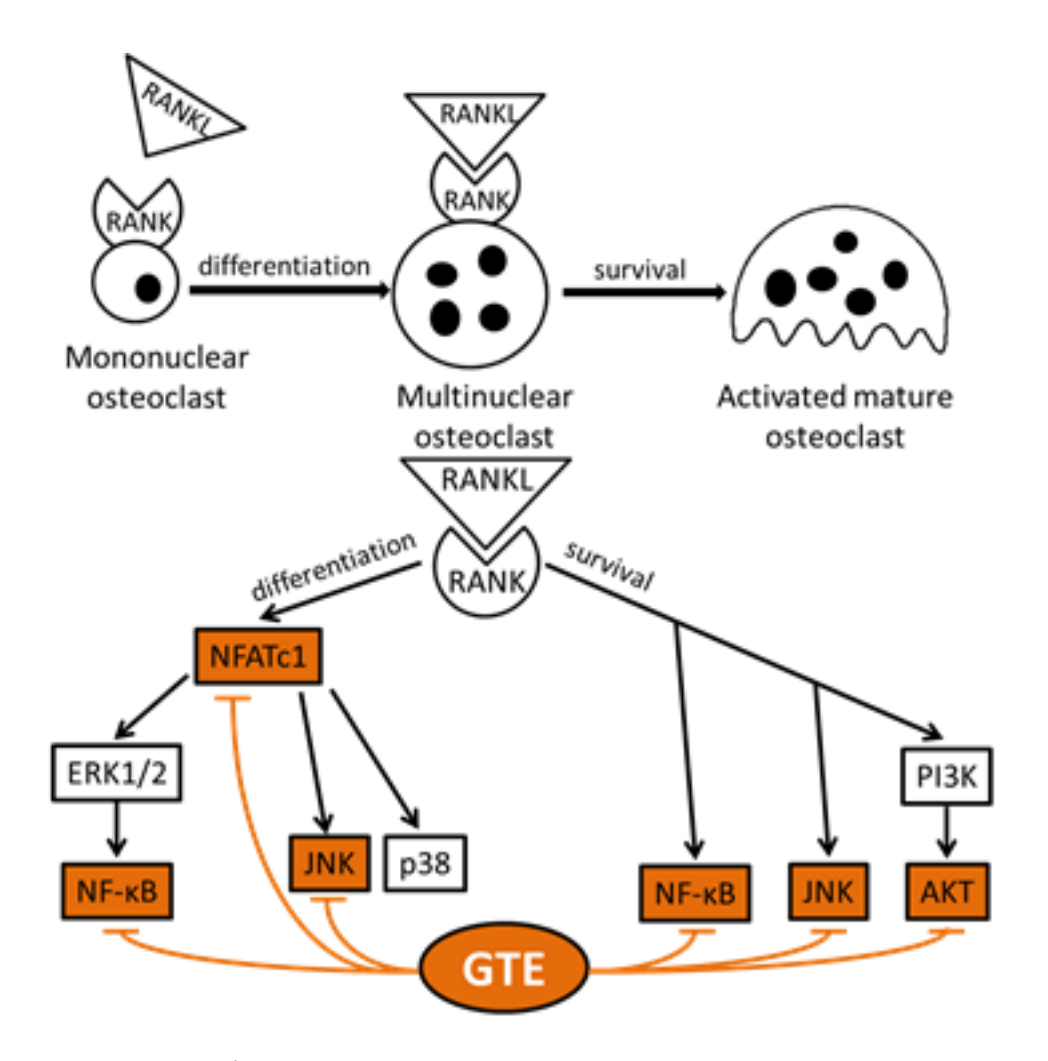


圖4、GTE萃取物可經由抑制蝕骨細胞的分化影響NFATc1、NF-κB及JNK的蛋白質表現量;在抑制蝕骨細胞存活的部分,GTE可抑制NF-κB、JNK及Akt的表現。



# 淺談生物分子間的交互作用機制

#### 楊佩琨

#### 義守大學生物醫學工程學系 助理教授

#### 摘要

胞內部的訊號傳遞網路與酵素 的催化反應在細胞的運作當中 扮演重要角色,而分生以及生化等相 關實驗得到的結論是經過一段時間、 亞佛加厥數目個分子反應出的可觀測 量。藉由分子動力模擬及量子力學可 以瞭解生物分子內部各個原子間的交 互作用機制。大部分的生物分子存在 於水溶液中,水會屏蔽帶電原子間的 静電交互作用,減少疏水性部分跟水 的接觸面積。由於鄰近生物分子周圍 水的特性跟在bulk solvent中的不同, 藉由修改macroscopic Gauss law,可 以得到較準確的水密度以及dielectric polarization, 並用來修改Born equation 以與計算solvation free energy。

#### 關鍵詞:

protein-protein/ligand interaction、solvation free energy、Gauss law、電腦輔助藥物設計

# 生命現象來自分子間 的交互作用

在細胞的訊號傳遞網路中,蛋白質 跟蛋白質或小分子會結合,結合後蛋 白質構型(conformation)可能會產生變 化讓訊息傳遞下去,然後結合的異 質會再度分開回到最初狀態。如果 白質構型太穩定或蛋白質跟蛋白質/ 分子間結合形成的複合物太穩定,別 會消耗較多的能量克服反應過程所需 的能量障壁,對生命體來說並不見得 好,所以蛋白質構型folding和denature 之間的能量差,以及蛋白質跟蛋白質 /小分子間的binding free energy一般不 會太大。相對的,若蛋白質構型不穩 定,室溫下容易導致denature,或蛋 白質形成的複合物容易解離的不佳狀 態。一般來說,蛋白質跟小分子間的 binding free energy,以及蛋白質folding 和denature之間的binding free energy difference只有數個Kcal/mol。

# 統計熱力學連結原子、分子 到巨觀實驗量

大部分生化、分生實驗量測到的 是巨觀量,亦即經過一段時間,包含 亞佛加嚴(Avogadro)數目個分子所及應 出的量。當我們想要瞭解蛋白質藉 出的量。當我們想要瞭解蛋白質 事態(amino acid)中的那些原 為什麼當DNA經過mutation、deletion 或insertion後,表現出的蛋白質會失去 或減低原有的功能;或更進一步的質的 或減低原有的功能;或更有蛋白質的功能(protein engineering),抑是設計的 引力能的蛋白質(protein design)。 與有新功能的蛋白質(protein design)。 但 高度演化後的工廠(不知道演化之始,

是不是需要有個上帝來決定DNA、蛋 白質要用那些積木組成?構成DNA的4 個小分子,以及構成蛋白質的20個小 分子在演化上真的是最好的積木嗎? 如果有其它小分子積木能讓DNA、蛋 白質能形成有分支(branch)的結構, 增加蛋白質構型的多樣性,那不是更 好嗎?),蛋白質就好像是機器,目 前存在的生物體,都是運作良好,可 延續後代的優良工廠。統計熱力學將 微觀的物理量,包含生物分子及水分 子的系統,每個原子的位置、速度分 布,連結到巨觀實驗的結果,例如溫 度、壓力。或是將蛋白質跟小分子間 的binding free energy/binding affinity, 連結到巨觀實驗得到的dissociation constant。藉由統計熱力學可望瞭解細 胞工廠內部蛋白質機器如何運作,當 細胞工廠或蛋白質機器故障後如何修 復,甚至設計新的細胞工廠。另外統 計熱力學的機率分布解釋了生物個體 未來的不確定性。

### 静電力主宰分子間的交互作用

目前已知有四種作用力,強作用力、弱作用力、電磁力跟重力。細胞 內分子間的交互作用不太可能由強作

用力、弱作用力或重力主導,一般由 電磁力主導,不然就是有新的、還未 被發掘的交互作用。目前常被用來 計算分子內部或分子間交互作用的 方式有兩種,一種是分子動力模擬 [3],一般分子動力模擬將交互作用 分為共價鍵以及非共價鍵間的交互作 用。其中非共價鍵間的交互作用分為 靜電與凡德瓦(van der Waals)交互作 用,而凡德瓦排斥力描述包立不相容 原理(Pauli Exclusion Principle)產生的 影響,凡德瓦吸引力則描述基於熱擾 動引起的induced electric dipole-dipole interactions(靜電交互作用)。另一種 計算分子內部或分子間交互作用的方 式是根據量子力學。當酵素產生催化 反應時會伴隨著電子的轉移,這部 分必須用量子力學解釋,Schrödinger equation中的位能來自靜電交互作用 [4] •

# 水對生物分子間交互作用 的影響

大部分生物分子存在於水溶液中。 構成蛋白質的原子帶有partial charge, 水對生物分子的效應主要有兩種:(1) 水的電極化效應會屏蔽帶電原子間的

交互作用;(2)溶液中的生物分子會減 少疏水性部分暴露在水中的面積。水 的電屏蔽效應一般是用Gauss law [5] 來估算。假設真空中兩帶電原子間的 靜電位能為Uvaccum<sup>1</sup>,物質的介電常數 為 品 則在介電物質內的兩帶電原子 間的靜電位能為Unet1 = Uvaccum1/ E, 其中介電物質貢獻的靜電位能為 Udie1 = Uvaccum<sup>1</sup>(1/ε-1)。假設水的ε為80, 則溶液中兩帶電原子間的靜電位能為 Unet1 = Uvaccum1/80,來自水的靜電位能  $Udie^1 = -79Uvaccum^1/80$ 。 當初 $Gauss\ law$ 是為了處理巨觀現象所發展出來的, 在溶質周圍1奈米內,依據Gauss law計 算得到的dielectric polarization跟從分子 動力模擬或由實驗值推測得到的有很 大的差異。而來自計算水電位能的些 微誤差ΔUdie 會造成計算淨電位能ΔUmet 很大的誤差。舉例而言:假設實際來 自水的貢獻 $Udie^2 = -78Uvaccum/80$ ,則淨 電位能為Unet<sup>2</sup> = 2Uvaccum/80。雖然Udie<sup>2</sup> 跟Udie<sup>1</sup>之間的差異只有約1%,但是 Unet<sup>2</sup>跟Unet<sup>1</sup>之間的差異卻高達100%。 水的另一種效應是減少生物分子疏水 性部分暴露在水中的面積,此部分能 量遠比Uvaccum小,但在水溶液中,兩 带電原子間的靜電位能為真空中的 1/80,此時疏水性產生的影響就不見得

蛋白質由胺基酸組成,胺基酸含 有親水性部分,例如main chain上的 NH和CO,許多胺基酸的side chain也 有親水性部分。胺基酸上也有疏水性 部分,例如main chain的Cα ,有些胺 基酸的side chain含有 $C_R \cdot C_v$  等,也是 屬於疏水性。蛋白質由胺基酸連成一 長串的結構,蛋白質內共價原子間的 鍵長、鍵角可變動性不大,但是main chain上的( $\varphi$ ,  $\psi$ ), 以及side chain上的  $(\chi_1, \chi_2...)$ 是可自由旋轉的[2]。因此蛋 白質可以看成含有許多關節,以及一 些小突觸的硬繩。依據統計熱力學原 理,蛋白質各種構型的機率分布跟位 能呈Boltzmann分布,即有較大的機率 停留在能量較低的構型。因此蛋白質

會調整(p, \psi)、(\chi\_1, \chi\_2...),讓疏水性部分盡量隱藏在蛋白質內部;無法成對的帶電原子盡量暴露在蛋白質表面跟水配對;蛋白質內部盡量不要有太大的、沒有填充原子的空間等等。另外生物分子間的交互作用遵循相同的理論基礎。

# 修改Maxwell's equations計算 溶液中分子間的交互作用

在古典力學中, Maxwell's equations處理帶電粒子間的電磁交互 作用。Maxwell's equations中表示的 物理量,例如電場、磁場、dielectric polarization等都屬於巨觀的物理量, 亦即在一個含有數千個被極化分子空 間中的平均值[5]。另外隨著量子力學 的發展,量子理論也被引進處理帶電 粒子間的交互作用。由分子動力模擬 以及實驗結果得知,溶質附近1奈米內 的水分子,其局部特性,例如水密度 跟dielectric polarization 隨位置呈劇烈 變動,這種現象無法用巨觀物理量描 述,也不屬於量子力學的範疇。本人 試著結合統計熱力學與電動力學,推 導出適用於溶液中奈米溶質分子間交 互作用的古典電動力學方程組[6-8]。 依此建構的方程組可以獲得像分子動力模擬之結果,隨溶質距離呈震盪 現象的水分子密度、以及水dielectric polarization[9];並可以像Maxwell's equations般處理電磁交互作用問題。 為了瞭解solvation free energy跟那些物 理量有關,採用修改過的Gauss law來 修改Born equation[10-12]。

#### 態健

感謝台大電機所馬志欽老師、中研院生醫所黃明經老師、陽明生科系廖 淑惠老師以及中研院生醫所林小喬老 師的指導。

#### 參考文獻

- [1] B. Lewin, and G. Dover (1994),*Genes v*, Oxford University PressOxford.
- [2] L. Stryer (1988), *Biochemistry*, WH Fresman and Ccmlny, New York.
- [3] B. R. Brooks, R. E. Bruccoleri, B. D. Olafson, D. J. States, S. Swaminathan, and M. Karplus (1983), CHARMM: A program for macromolecular

- energy, minimization, and dynamics calculations, *Journal of computational chemistry*, vol. 4, pp. 187-217.
- [4] R. Eisberg, and R. Resnick (1985), *Quantum physics*, John Wiley &

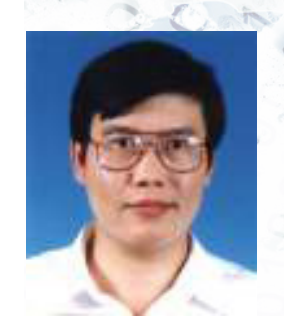
  Sons, New York
- [5] J. D. Jackson (1999), Classical Electrodynamics, 3rd ed.; John Wiley & Sons, New York.
- [6] P. K. Yang and C. Lim (2008),
  Reformulation of Maxwell's
  Equations to Incorporate Near-Solute
  Solvent Structure, *J. Phys. Chem. B*,
  vol. 112, pp. 10791-10794.
- [7] P. K. Yang and C. Lim (2009), Strategies to model the nearsolute solvent molecular density/ polarization, *Journal of computational chemistry*, vol. 30, pp. 700-709.
- [8] P. K. Yang (2011), Discrepancy in the near-solute electric dipole moment calculated from the electric field, *Journal of computational chemistry*, vol. 32, pp. 2783-2799.
- [9] P. K. Yang (2011), Derivation of Equations Describing Distance Solute Oscillation of Induced Solvent Polarization, *Bulletin of the Chemical*

Society of Japan, vol. 84, pp. 58-69.

- [10] P. K. Yang and C. Lim (2008), The importance of excluded solvent volume effects in computing hydration free energies, *The Journal of Physical Chemistry* B, vol. 112, pp. 14863-14868.
- [11] P. K. Yang (2013), Strategy using three layers of surface charge for computing solvation free energy of ions, *Biophysical chemistry*, vol. 184, pp. 87-94.
- [12] P. K. Yang (2014), Incorporating the excluded solvent volume and surface charges for computing solvation free energy, *Journal of computational chemistry*, vol. 35, pp. 62-69.



# 淺談具備電腦視覺的嵌入式系統



## 曾遠威

#### 義守大學電機工程學系助理教授

## 無所不在的嵌入式系統

山 入式系統應用在現實生活中已 **甘** 是人類生活不可或缺的一部分! 例如,人們無法想像沒有個人手機的 生活,它存在於無形當中,幾乎是所 有人類生活層面中無可避免的。而其 他各種的嵌入式系統產品,如家庭多 媒體系統、可攜式播放器、嵌入式醫 療裝 置及 感應,以及汽車嵌入式系統 等,已經持續融合網路通訊及計算功 能於這些裝置當中,嵌入式系統本身 正在轉變成為真正複雜的即時系統, 從而創造出新的機會及挑戰,以發展 更加強大、更高效的處理器、周邊及 其他配件於市場。嵌入式系統隨著 微處理器之發明而誕生,並因此演 變成各種不同的型式,例如,從主要 被設計用於機器控制之應用,並隨著

通訊網路技術的融入而迅速擴展到其 他各種新的垂直應用領域及市場。然 而,嵌入式系統的應用市場到底有多 廣闊呢?這就不得不探討一下CPU被 採用數量分佈情形,而提到CPU我們 很直覺的會聯想到個人電腦,然而事 實上,其它CPU的應用領域、範圍及 採用的數量都遠遠超過個人電腦的數 量。以數量來看x86的CPU,包含Intel 及AMD 公司所生產的,加總起來可 能也不及其他種類CPU總消耗量的百 分之一,其中應用數量最大的是在嵌 入式系統。CPU數量之大說明了嵌入 式系統應用的範圍之廣,同時這也意 味其實並沒有甚麼所謂典型的嵌入式 系統應用,可見嵌入式系統之重要性 [1] •

在現在日益資訊化的社會中,電腦 和網路已經全面渗透到日常生活的每

一個角落。對於我們每個人,需要的 已經不再僅僅是那種放在桌上處理文 書作業,而是進行各種各樣的新型嵌 入式系統設備在應用、工作管理和生 產控制的電腦"機器";數量上已經遠 遠超過個人電腦,任何一個普通人可 能擁有從大到小的各種使用嵌入式技 術的電子產品,小到mp3,PDA 等小 型數位化產品,大到網路家電、智能 家電或車載電子設備等。而在工業和 服務領域中,使用嵌入式技術的數位 機床、智慧工具、工業機器人或服務 機器人也將逐漸改變傳統的工業和服 務方式。 從各項資料及報導顯示,目 前嵌入式系統技術已經成為了最熱門 的技術之一,嵌入式軟體發展人才嚴 重短缺,嵌入式行業前景可期,產值 逐年大幅增加達數千億美元。

嵌入式系統是指將一個電腦嵌入到對 象的系統,目前普遍被認同的定義 式:以應用為中心、以電腦為基礎、 軟體和硬體可以裁減、適應應用系統 對功能、可靠性、成本、體積、功率 的損耗等有嚴格要求的專用電腦系 統。

嵌入式系統一般由以下幾個部分 組成:嵌入式微處理器、周邊硬體設 備、嵌入式作業系統和特定的應用程 式。嵌入式系統包含以下幾個特點[2]:

- a.系統核心小。 由於嵌入式系統一般 是應用於小型電子裝置,系統資源 相對有限,所以核心較之一般的作 業系統要小的多。專用性強。
- b.嵌入式系統的個性化很強,其中的 軟體和硬體的結合非常緊密,一般 要針對硬體進行作業系統的移植。 同時針對不同的任務,往往需要對 作業系統進行較大更改,程式的編 譯下載要和系統互相結合。
- c.系統精簡。嵌入式系統一般沒有作業系統和應用軟體的明顯區分,不要求其功能設計及實現上過於複雜,有利於控制系統成本,同時也利於實現系統安全。
- d.高即時性的系統軟體是嵌入式軟體 的基本要求。而且軟體要求固態儲 存,以提高速度,軟體程式要求高 質量和高可靠性。
- e.嵌入式軟體發展想要趨向標準化, 就必須使用多任務的作業系統。嵌 入式系統的應用程式可以沒有作業 系統直接在晶片上運行,所以使 用者必須自行選配即時作業系統 (RealTime Operation System, RTOS) 開發平台,這樣才能保證程式執行

的即時性、可靠性,並減少開發時間,保障軟體質量。

 的開發效率和可靠性。

#### 嵌入式系統的軟硬體架構

嵌入式系統硬體基本架構如圖1所 示,此系統主要由微處理器(Memory Protection Unit, MPU)、周邊電路, 以及周邊設備組成,微處理器為進 階精簡(Advanced RISC Machine, ARM) 嵌入式處理晶片, MPU為整個 嵌入式系統硬體的核心, 決定了整個 系統功能和應用領域。週邊電路根據 微處理器不同而略有不同,主要由電 源管理模組、時鐘模組、快閃記憶體 (FIASH)、隨機存儲記憶體(Random Access Memory, RAM),以及唯讀記 憶體 (Read-Only Memory, ROM) 組 成,這些設備是一個微處理器正常工 作所必須的設備。週邊設備將根據 需要而各不相同,如通用通訊界面 USB、RS-232、RJ-45等,輸入輸出設 備,如鍵盤、液晶顯示(Liquid Crystal Display, LCD)等。周邊設備將根據 需要而定製[3]。

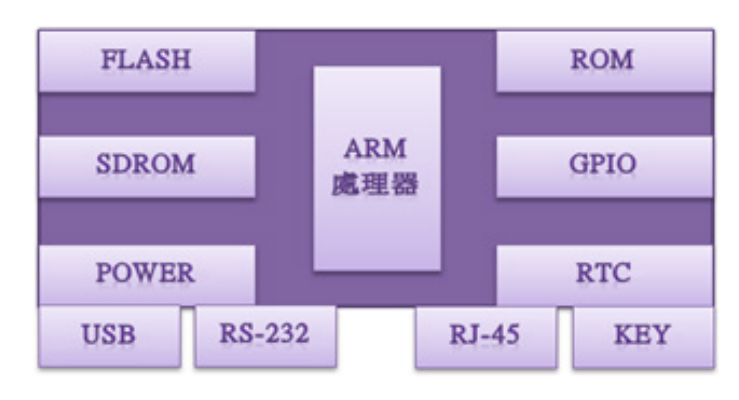


圖1、典型嵌入式系統硬體架構

嵌入式系統與傳統的單晶片在軟體方面最大的不同就是可以移植作業系統,從而使軟體設計層次化,傳與系統的單晶片在軟體設計時將應用程式,,提到時人主義一切變得很簡單是一切變得不可,是一個人工。以上,從與硬體相關的開發,是一個人工。以及使用者的應用,以及使用者的應用軟體。

各部分可以清晰地劃分開來,如 圖2所示,當然,在有些時候這種劃分 也不完全符合應用要求,需要使用者 根據特定的需要來設計自己的應用軟 體。

應用軟體層(Application)		
文件系統	圖形介面(GUI)	系統管理介面
即時作業系統(RTOS)		
開發板支援套件(BSP)		
Tiny 6410 (硬體層)		

圖2、嵌入式系統軟體基本架構

開發板支援套件(Board Support Packet, BSP)主要用來完成底層硬體相關的訊息,如驅動程式,加載即時作系統等功能。

即時作業系統層主要就是常見的嵌入式作業系統,使用者根據自己的需求來設計移植自己的作業系統,即添加刪除部分套件,添加相應的硬體驅動程式,為上層應用提供系統調用。

文件系統、圖形用戶介面(GUI), 以及系統管理介面的功能主要是為了 應對需求,如果需要文件系統及圖形 用戶介面支持才需要設計,主要是為 了使用者開發應用軟體提供更多更方 便更豐富的應用程式介面(Application Programming Interface, API)。

應用軟體層即使用者針對特定應用設計的應用軟體,在使用者開發應用軟體,在使用者開發應用軟體時,可以用到底層提供的大量函數,採用分層結構的軟體設計使系統清晰明瞭,各個部分設計工作分工明

確,可避免整個系統過分龐大。

#### 電腦視覺應用概述

#### 1.人臉辨識關鍵技術

隨著多媒體技術的發展,人臉影 像在各種領域中具有越來越重要的作 用,如人機交互系統、影像監控系 統、人臉影像數據庫管理系統、人臉 檢測與辨識系統等,在各種人臉影像 的應用系統中,人臉特徵定位是最重 要組成部分之一。所謂人臉定位就是 在靜態影像或動態影像中標示出人臉 所在位置,把人脸選取出來,而人脸 的辨識就是把選取出來的人臉與數據 庫中已有的人臉進行比較,找出匹配 檔案。定位和辨識是兩個主要的步 驟,完整的人臉辨識系統涉及到決定 靜態影像或動態影像中有無人臉、計 數、定位,然後根據數據庫辨識出個 人,可能的話還要辨識表情,以及根 據臉的影像做出描述,或者反過來根 據描述挑選對應的人臉影像[5]。

而人臉特徵定位就必須用到人臉 檢測技術,人臉檢測是人臉特徵定位 的前提,在整個過程中有著重要的功 用。人臉檢測問題最初做為自動人臉 辨識系統的定位環節被提出,近年來 由於其在安全訪問控制、視覺監測、 基於內容的檢索和新一代人機界面等 領域的應用價值。

#### 2.移動物檢測-背景減除法

移動圖像檢測的目的就是從序列圖 像中將變化區域從背景圖像中提取出 來。對移動區域的分割對於後期的目 標分類,目標跟蹤和行為理解非常重 要,因為以後的處理工程基本考慮圖 像中對於移動區域的畫素。然而背景 圖像的動態變化,如天氣、光照、陰 影等因素影響,使得移動目標檢測成 為一項相當困難的工作,背景減除法 [6]可以克服部分上述困難是目前移動 目標檢測中最為常見的算法之一,它 利用當前圖像與背景圖像的差分來檢 測移動區域,影像監控系統主要使用 固定攝影機對場景進行監控,場景基 本固定,因此背景移除法在監控系統 中是一種重要的移動目標檢測方法。

## 實際應用範例

以下提供兩個實際應用範例及實驗 影片連結:

#### 1. 可辨視特定人臉的開鎖系統

人臉具有很多生物特徵,因此臉 部識別安全系統是比那些只需要通行 碼更為安全。在這篇論文[7]中,嵌入 式的臉部識別安全系統的設計。是當 嵌入式系統識別一個特定的人出現在 鏡頭前,關閉的門將會被允許解鎖。 换言之,如果該使用者是不被系統識 別的人,門會保持鎖定狀態。在嵌入 式系統上運行的人臉識別程式是基於 Haar-like特徵訓練和AdaBoost分類器 開發的。建立一個基於ARM的嵌入式 系統,如Bootloader,Linux內核的遷 移的細節, 創建根文件系統和安裝外 圍驅動設備的移植已呈現。對於嵌入 式系統,臉部辨識過程通常只約要2秒 鐘。因此,嵌入式系統的即時性能是 有保證的。

實驗影片: 系統建構與驗證

https://www.youtube.com/ watch?v=ew9ZxdxqB I

實驗影片:實際操作

https://www.youtube.com/ watch?v=xkvqAqACaK8

## 2. 可自動對移動物體拍照及將照片上 傳雲端的保全系統

 防止入侵者去破壞監視系統來消滅證據。

本論文所建構的嵌入式系統可應用 於保全系統,稍加修改就可以有更多 應用。

#### 實驗影片:

https://drive.google.com/file//0BzwZ 0M5T7N8IbkdxQl9ONHRhUjg/edit?usp =sharingd/0BzwZ0M5T7N8IbkdxQl9ON HRhUjg/edit?usp=sharing

### 結論

本文簡述了與電腦視覺技術結合的 嵌入式控系統。並提供兩個實際應用 範例及實驗影片連結,希望讀者能對 電腦視覺技術和嵌入式控系統有初步 了解。更希望能有更多學子能產生興 趣,將來投入此兩項前景看好的工作 與研究中。

#### 參考文獻

- [1] 廖建興(2010)。嵌入式系統之新興發展應用趨勢。**IBCQ報等年刊**, **1**,46-59,取自http://www.cteccb. org.tw/pdf/BSMI-IECQ-99-05.pdf
- [2] 嵌入式系統分類(2009)。2009年06 月17日,取自http://www.elecfans. com/emb/xitong/2009061769440.

# 文摘

html

- [3] 嵌入式系統開發的模式與流程 (2009)。2009年03月23日, 取自http://www.uml.org.cn/embeded/200903232.asp
- [4] 維基百科。計算機視覺。取自 http://zh.wikipedia.org/wiki/%E8%A E%A1%E7%AE%97%E6%9C%BA %E8%A7%86%E8%A7%89
- [5] 台灣wiki。計算機視覺。取自 http://www.twwiki.com/wiki/%E8% A8%88%E7%AE%97%E6%A9%9F %E8%A6%96%E8%A6%BA
- [6] H. Askar, F. Zhizhong, and L. Zaiming (2002), Detecting dim moving point targets using transformation of pixel statistics, IEEE 2002 International Conference on Communications, Circuits and Systems and West Sino Expositions, vol. 2, pp. 972 976, 29 June-1 July.
- [7] 楊曜坤(2013)。**基於收入式系統之** 電腦視覺設計與實現 (碩士論文)。 義守大學電機工程學系,高雄市。
- [8] 廖崇宇(2013)。**具備即時影像監控 應用之收入式系統**(碩士論文)。 義 守大學電機工程學系,高雄市。



# 藉由種子層粗化引導奈米銀沉積以 提升超薄AZO/nano-Ag/AZO薄膜



# 光電特性之研究

林彥勝<sup>1</sup>、吳則學<sup>2</sup>、鍾卓良<sup>3</sup>

義守大學電子工程學系副教授 義守大學電子工程研究所碩士 義守大學材料科學與工程學系副教授

## 摘要

量測系統與UV-VIS光譜儀則分別量測薄膜結構之光電特性。研究結果顯示當金屬銀厚度控制在8nm時,且AZO種子層先經由500°C熱退火處理,再以0.1%硝酸(HNO $_3$ )蝕刻150秒後,並於完成整體AZO(20nm)/nano-Ag(8nm)/AZO(20nm)之超薄薄膜具有最佳光電效益指數為 $2.84\times10^{-2}\Omega^{-1}$ ,此時薄膜之電阻率可降至 $4.25\times10^{-5}\Omega$ -cm,於可見光波長範圍380nm~780nm之平均穿透率可提升達88.7%。

關鍵字: 掺鋁氧化鋅、種子層粗化、射頻磁控濺鍍機、超薄AZO膜層、光電效益值

## 介紹

透明導電薄膜(Transparent Conductive Oxide, TCO) [1-2] 泛指在可 見光範圍(380nm~780 nm)具有80%以上 的穿透率以及電阻率低於 $1\times10^{-3}\Omega$ -cm 之薄膜材料。現今透明導電薄膜已 被廣泛的應用在液晶顯示器(Liquid Crystal Display, LCD)、有機發光二 極體(Organic Light-Emitting Diode, OLED)、平面顯示器(Flat Panel Display)、太陽能電池(Solar cell)等光 電元件上[3-6]。故研究如何提升薄膜 之導電率及穿透率以製作高表現透明 導電膜元件已是一重要課題。目前主 要使用的透明導電薄膜為銦錫氧化物 (In<sub>2</sub>O<sub>2</sub>: Sn, ITO), 而ITO雖擁有良好 的導電率及高的透光率,在大量生產 下價位也趨於平價,然考量ITO中銦 (In)為稀有金屬,其含量在地殼中僅 約為1×10-5%,且銦金屬只能從其它 礦物中提煉而成,沒有所謂的銦礦, 故未來將會有原料短缺而導致價格過 高的問題[7-14]。而銦具有毒性,也 容易與氫電漿產生反應,因此現今許 多研究轉而尋求其他替代材料。由於 氧化鋅(Zinc Oxide, ZnO)具有寬的能 隙(3.37eV)及高的激子束縛能(60meV) [15],且氧化鋅本身資源豐富,故價格也相對比ITO便宜。另其不具毒性,具低成長溫度,然未添加雜質的氧化。 在身導電性質欠佳,因此目前研究都是藉由摻雜金屬的新代錄(Aluminum doped Zinc Oxide, AZO)薄膜具有資源豐富、成本低、不具毒性等特性[16-20]。且摻鋁氧化鋅具有高載子濃度可見光區擁有高穿透率並且擁有低電有完光區擁有高穿透率並且擁有低最有高望取代ITO的透明導電薄膜材料[21-26],因此本研究將主要使用摻鋁氧化鋅靶材進行濺鍍製程。

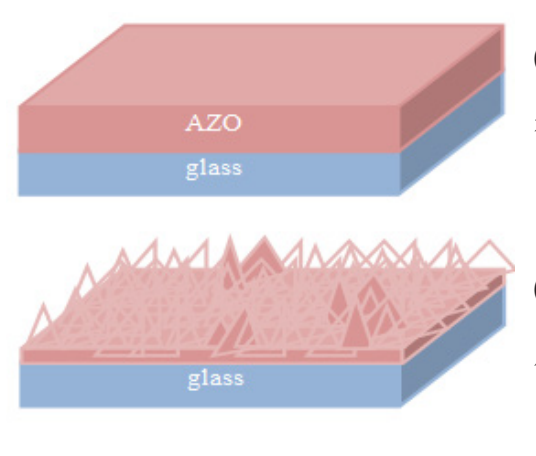
在文獻中發現,藉由在AZO薄膜中 在文獻中發現,藉由在AZO薄膜中 加入 等電學電學 [27-29],且金屬導門 更是 [27-29],且金屬薄月 是 [27-29],且金屬薄月 是 [27-29],且金屬其份 是 [27-29],是金屬 所在光性。 所在光性。 與 [27-29],是金屬 所在光性。 所在光性。 與 [27-29],是金屬 所在光性。 所在光性。 與 [27-29],是金屬 所在光性。 所在光性。 與 [27-29],是一個 與 [27-29],是一個 所在光性。 與 [27-29],是一個 與 [27-29],是

由原本的薄膜結構引導成為奈米顆粒 結構分佈,藉此改善薄膜在可見光區 域的穿透率[30]。表面粗化是薄膜受到 蝕刻溶液的化學侵蝕而導致薄膜表面 呈現類錐狀結構的現象,在薄膜表面 存在的一些結構較不均勻處或是晶界 及晶界附近的局部區域,都可能發生 蝕刻速率增加的情況,藉由蝕刻速率 的不同,呈現出不一樣的表面結構。 本研究藉由設計粗化AZO種子層的表 面結構,使其在後續濺鍍金屬層過程 中,藉由尖端結構吸附特性來改善銀 金屬層的堆積分佈狀況。有關藉由微 細尖端吸附奈米結構的研究概念,近 來在R. Dastjerdi的研究中[31]有提出 此物理概念,而同樣的此種研究概念 在L. Nzoghe-Mendomea的研究中[32] 也應用在提升ITO玻璃之高導電及高 穿透特性上。由上敘相關研究文獻可 得知,藉由微粗化表面可以有效引導 銀奈米顆粒的沉積分佈,故本研究將 藉由此方式來提升AZO膜層的光電特 性。而金屬中由於銀金屬具有良好的 導電特性,其電阻值為2×10-6Ω-cm, 故研究中將設計在AZO膜層中加入厚 度為8nm的銀金屬來研究提升薄膜之導 電性,並藉由濕式蝕刻先對AZO種子 層進行微粗化製程,使銀金屬導電層

由原本的薄膜結構引導成為奈米顆粒 結構分佈,期望在提升導電率的狀況 下,藉此結構設計更進一步改善薄膜 的光穿透率[33]。

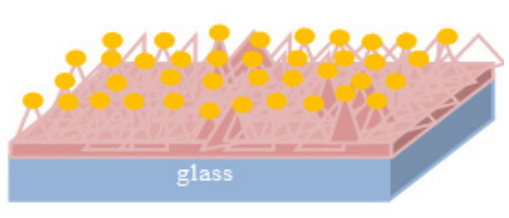
#### 實驗過程

圖1為本研究製程結構示意圖。首 先是在室溫下使用射頻磁控濺鍍機在 玻璃基板上沉積摻鋁氧化鋅(AZO)種 子層薄膜,如圖1(a)所示,並藉由通入 適當氧(O<sub>x</sub>)來改善AZO種子層的結晶 特性,接著再以最佳温度進行快速熱 退火處理來提升AZO種子層結構的品 質。完成後先以濃度0.1%,溫度80° C的硝酸(HNO<sub>3</sub>)水溶液,進行不同時 間參數的濕式蝕刻來微粗化AZO種子 層表面,如圖1(b)所示。藉由微粗化 表面結構設計使後續沉積的金屬銀導 電層,可由原本的島狀結構較易被引 導成為奈米顆粒結構分佈,如圖1(c)所 示。接下來於蝕刻後的AZO種子層上 沉積厚度8 nm的銀金屬層來提升薄膜 之導電性。最後再沉積上一層AZO覆 蓋層,如圖1(d)所示,藉此覆蓋層來保 護奈米金屬層不因氧化而導致薄膜導 電特性降低,詳細研究流程示意圖如 下圖所示。

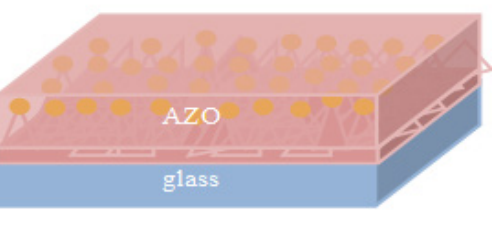


(a)濺鍍AZO 種子層





(c)種子層微粗 化引導奈米銀 沉積



(d) 濺 鍍 A Z O 覆蓋層 以完成 A Z O (20nm)/ nano-Ag(8nm)/ A Z O (20nm) 膜 層結構

圖1、製程結構示意圖

有關詳細之薄膜製程步驟說明如下:

- (1) 本研究使用1cm×1cm大小的Eagle 2000 Corning玻璃為基板,基板需 經四道清洗步驟才可以置入真空腔 體內準備進行濺鍍製程,以避免基 板表面的雜質或是油脂影響濺鍍薄 膜的性質,其清洗步驟如下:
  - ●將基板置於丙酮中,以超音波震 盪機震盪10分鐘。
  - •再置於異丙醇中,以超音波震盪

機震盪10分鐘。

- ●然後再放入去離子水(De-ionized water)中,以超音波震盪機震盪10分鐘。
- ●最後將清洗完的基板以氮氣槍去 除基板表面之水分來完成基板清洗 步驟。
- (2)使用射頻磁控濺鍍機在玻璃基板上 濺鍍一層AZO種子層,使用ZnO掺 雜2wt% Al<sub>2</sub>O<sub>3</sub>的AZO(ZnO: Al)靶 材,製程時通入10sccm氫氣(Ar), 並通入不同的氧氣(O<sub>2</sub>)參數來探討 對AZO種子層結晶特性的影響,參 數分別為1sccm、2sccm和3sccm, 製程工作壓力控制在10<sup>-2</sup> torr,射頻 功率為50W,濺鍍厚度為20nm的 AZO種子層。
- (3) 對AZO種子層進行熱退火處理來 改善薄膜的品質,退火參數設計為 300°C、500°C和700°C,持溫時 間定為10分鐘,針對不同熱退火溫 度下之電阻率及穿透率做探討,並 找出最佳參數。
- (4) 從文獻得知,使用硝酸(HNO<sub>3</sub>)處 理後的AZO薄膜表面具有較佳的表 面形貌[29],固定蝕刻溶液的濃度 與反應溫度,藉此控制濕式蝕刻的 反應速度。故本研究使用0.1%硝酸

(HNO<sub>3</sub>)對已完成退火後的AZO種子層進行蝕刻,藉由微粗化的表面結構設計來引導銀奈米粒子的分佈,蝕刻溫度控制在80°C,蝕刻時間分別為50秒、100秒、150秒、200秒和250秒等來進行分析。

- (5) 接著再使用射頻磁控濺鍍機在蝕刻 後的AZO種子層上濺鍍不同厚度 的銀金屬層來分析,厚度參數分 別為6nm、8nm和10nm,製程時通 入10 sccm 氫氣,射頻功率控制在 50W,由於蝕刻後的AZO種子層上 所形成的類錐狀結構可適當引導銀 金屬粒子在錐尖成核,且由於奈米 銀粒子具有很強的內聚力[30],因 此可以在錐尖形成顆粒狀結構。
- (6) 最後使用射頻磁控濺鍍機在先前的 結構上濺鍍上一層20nm AZO覆蓋 層,製程時通入10sccm氫氣,射頻 功率控制在50W,此AZO覆蓋層是 為了保護銀金屬層,使其避免在大 氣環境下氧化,而導致薄膜導電性 降低。

#### 結果與討論

圖2為利用AFM掃描表面形貌量並 量測出平均粗糙度之三維圖,量測範

圍為500nm×500nm。由圖可觀察到, 當蝕刻時間增加到100秒時,平均粗糙 度有逐漸上升的趨勢,但當蝕刻時間 增加到150秒時,平均粗糙度反而略 微下降,主要因為AZO種子層在蝕刻 前,表面已存在著一些較鬆散的結構 及部分接觸到大氣而被氧化的結構, 導致在蝕刻時間到150秒時粗糙度有所 起伏。而當蝕刻時間到達200秒時,具 有最大的平均粗糙度,但當蝕刻時間 增加到250秒時,平均粗糙度反而大幅 度的下降,表示此時表面已經產生過 蝕刻現象。由於濕式蝕刻為等向性蝕 刻,因此過蝕刻將導致薄膜表面被蝕 刻出微坑洞與薄膜側蝕的情形,而這 對後續引導奈米銀的堆疊將有不良的 影響。圖3為在經過不同時間濕蝕刻的 AZO種子層,並已完成8nm厚之奈米 銀金屬表面結構圖。由圖可觀察到當 AZO種子層經過蝕刻後,微粗化的表 面結構可以有效引導銀奈米粒子之成 核中心。隨著蝕刻時間的增加,奈米 銀金屬層的結構明顯的由薄膜島狀結 構引導成分散的奈米顆粒狀結構。當 蝕刻時間為150秒時,散佈的奈米銀晶 粒結構最為明顯。當蝕刻時間增加為 200秒時,由於種子層的平均粗糙度提 升,反而使種子層表面形成高低差,

導致銀金屬層結構堆積品質下降,而 當蝕刻時間增加為250秒時,由於種子 層結構被過度蝕刻,導致引導奈米銀 的效果變差,且由於種子層過度蝕刻 的表面結構,使得銀金屬層結構狀態 變差。

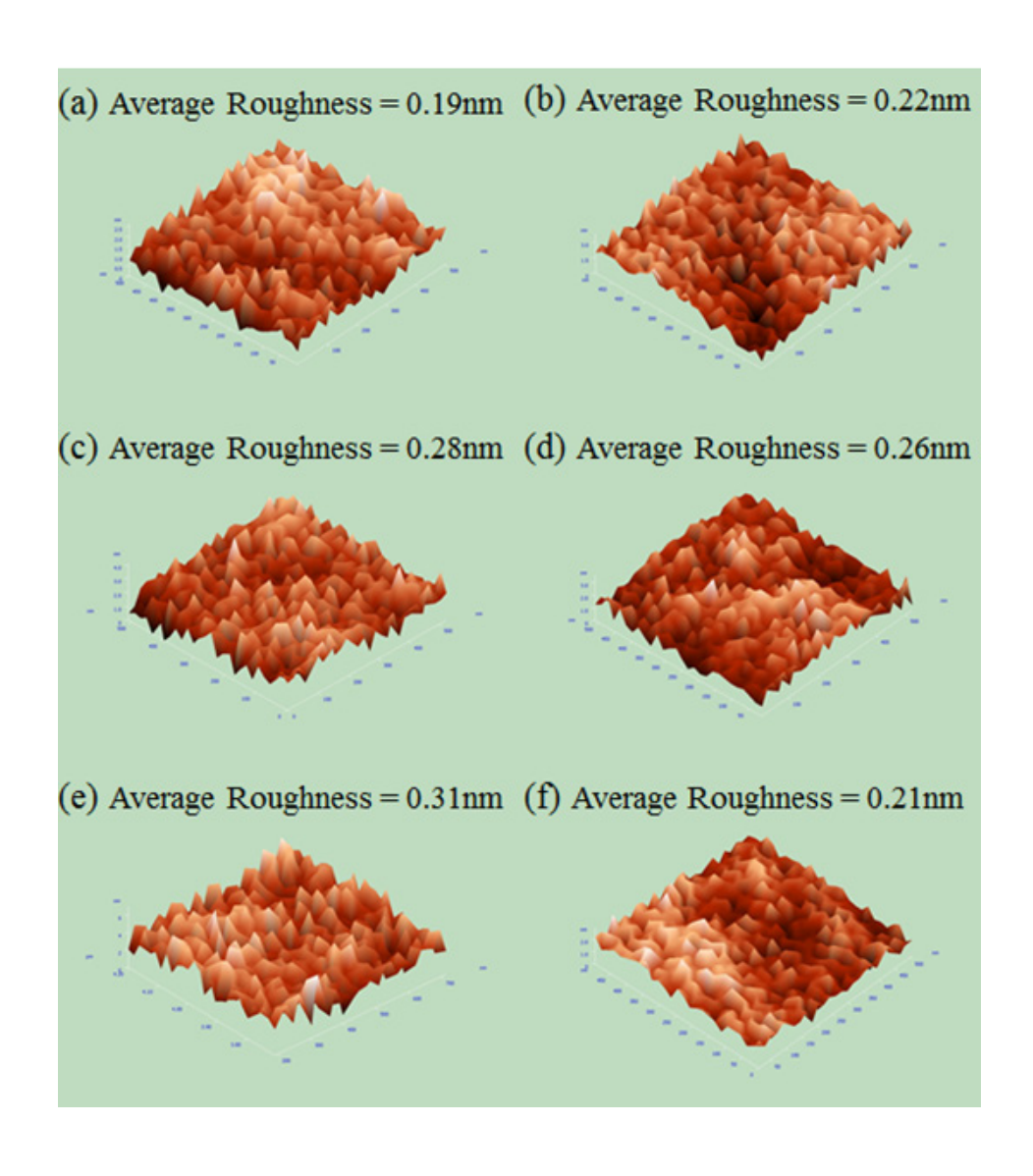


圖2、AZO種子層經過0.1%硝酸溶液於不同時間蝕刻後的AFM表面結構圖(a)0s、(b)50s、(c)100s、(d)150s、(e)200s、(f)250s

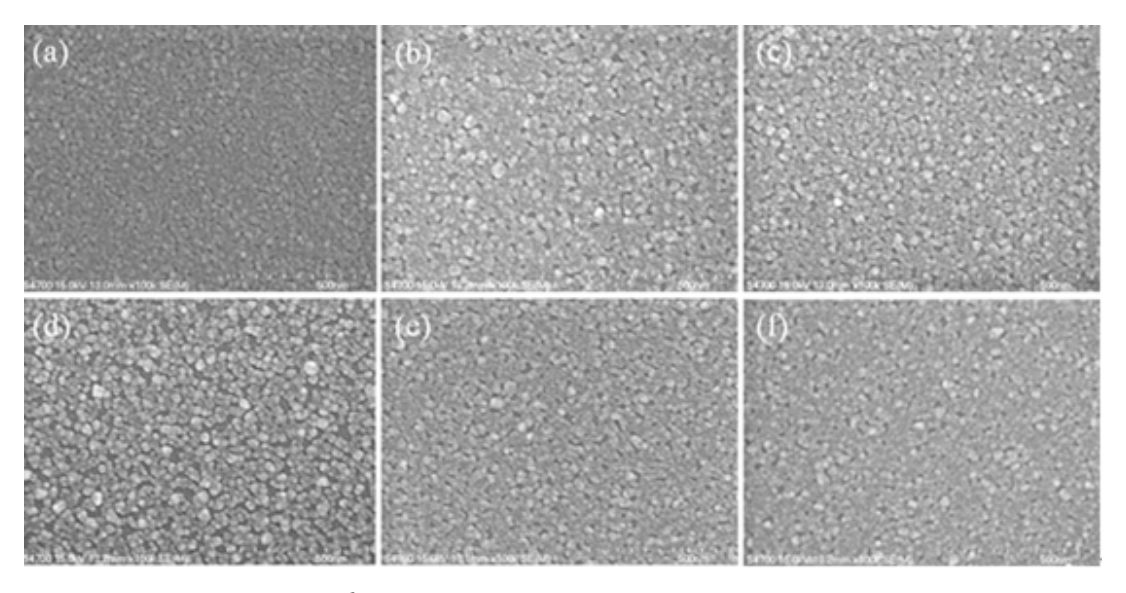


圖3、成長8nm銀金屬於經不同時間蝕刻後的AZO種子層表面之SEM 圖(a)0s、(b)50s、(c)100s、(d)150s、(e)200s、(f)250s

圖4為經過不同蝕刻參數後置入 8nm銀金屬層,並已完成完整AZO薄 膜之結晶特性分析圖。由於微粗化種 子層表面之類錐狀結構,可以提供奈 米銀在沉積時之成核中心,藉以改善 奈米銀結構分布狀況,而影響其結晶 方向特性。由圖可觀察到,當蝕刻時 間增加到150秒時,Ag(111)特徵峰有 明顯增強的趨勢,但當蝕刻時間繼續 增加到250秒時,由於種子層結構有過 高的粗糙度及過度蝕刻的情況,使得 Ag(111)特徵峰強度反而下降。由此結 果得到,在奈米銀金屬層厚度為8nm 時,且種子層蝕刻時間為150秒下,奈 米銀具有最好的結晶特性,表示其奈 米銀之堆積指向較一致。圖5為AZO 種子層經過不同蝕刻參數後置入8nm

銀金屬,並已完成整體AZO薄膜之電 性量測圖。由於微粗化的表面結構可 以有效提升沉積奈米銀之成核中心, 而使其分佈較均勻,而達到降低電阻 率的效果。由前SEM圖亦可以觀察隨 著蝕刻時間增加至150秒,奈米銀晶 粒結構呈現更明顯,代表晶粒與晶粒 之間的晶界越明顯,導致更多載子被 晶界束縛而使電子傳輸能力下降,造 成載子遷移率下降而使導電特性也稍 微降低。而當蝕刻時間繼續增加,由 於奈米銀結構堆積更趨於團聚,使原 本之引導效果下降,而造成載子遷移 率變差,因此使導電率降低。故由此 可得知AZO種子層經過50秒濕式蝕刻 後,其奈米銀之堆積形態有效提升整 體膜層之導電率,然最佳之透明導電

薄膜還需要藉由穿透率量測來進一步 驗證。圖6為經過不同蝕刻參數後置 入8nm銀金屬,並已完成完整AZO薄 膜之穿透率量測圖。由於金屬有吸收 光的特性,金屬層的存在將影響薄膜 在穿透率上的表現,因此藉由AZO種 子層表面粗化,來引導並改變奈米銀 金屬層的結構以提升其膜層穿透率。 由SEM圖可以觀察到,當經過150秒 蝕刻時, 奈米銀結構有最理想的均匀 分佈,使平均穿透率由未經蝕刻時的 85.3%提升至88.7%,而當蝕刻時間繼 續增加,由於引導奈米銀堆積結構有 團聚現象產生,進而影響入射光行進 路線造成散射的增加,導致穿透率下 降。

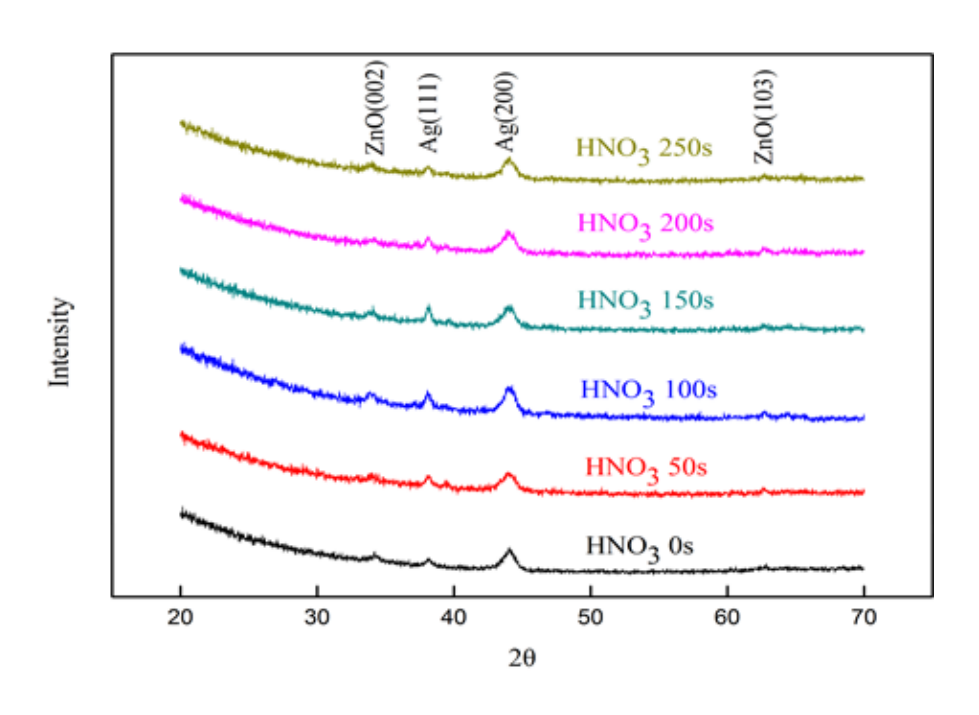


圖4、AZO(20nm)/nano-Ag(8nm)/AZO(20nm)薄膜,其中AZO種子層經 過不同蝕刻參數後之XRD圖

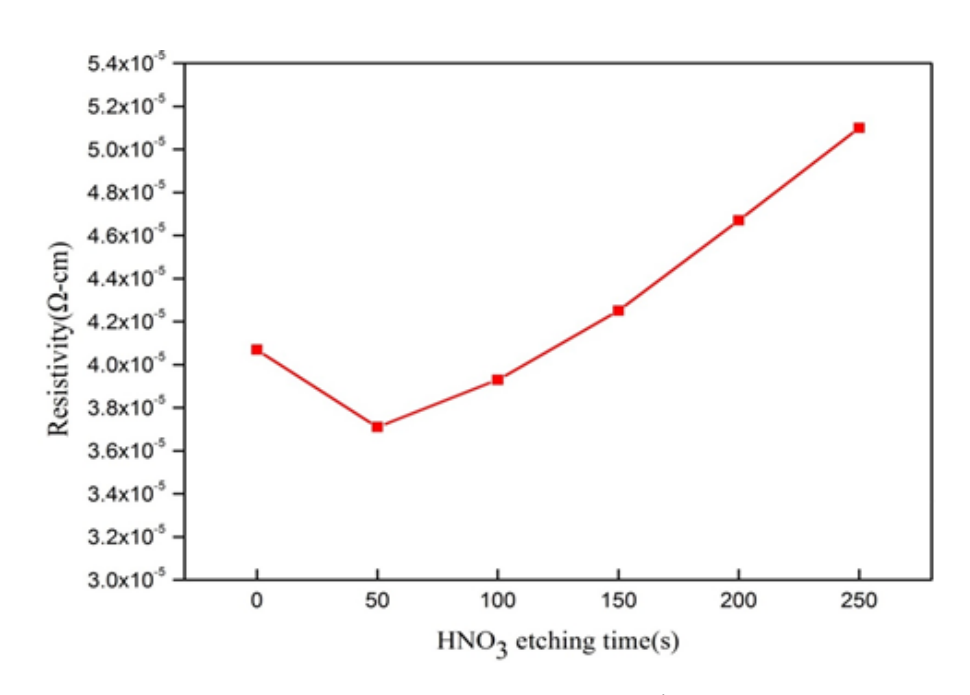


圖5、AZO(20nm)/nano-Ag(8nm)/AZO(20nm)薄膜,其中AZO種子層經過不同蝕刻參數後之導電特性圖

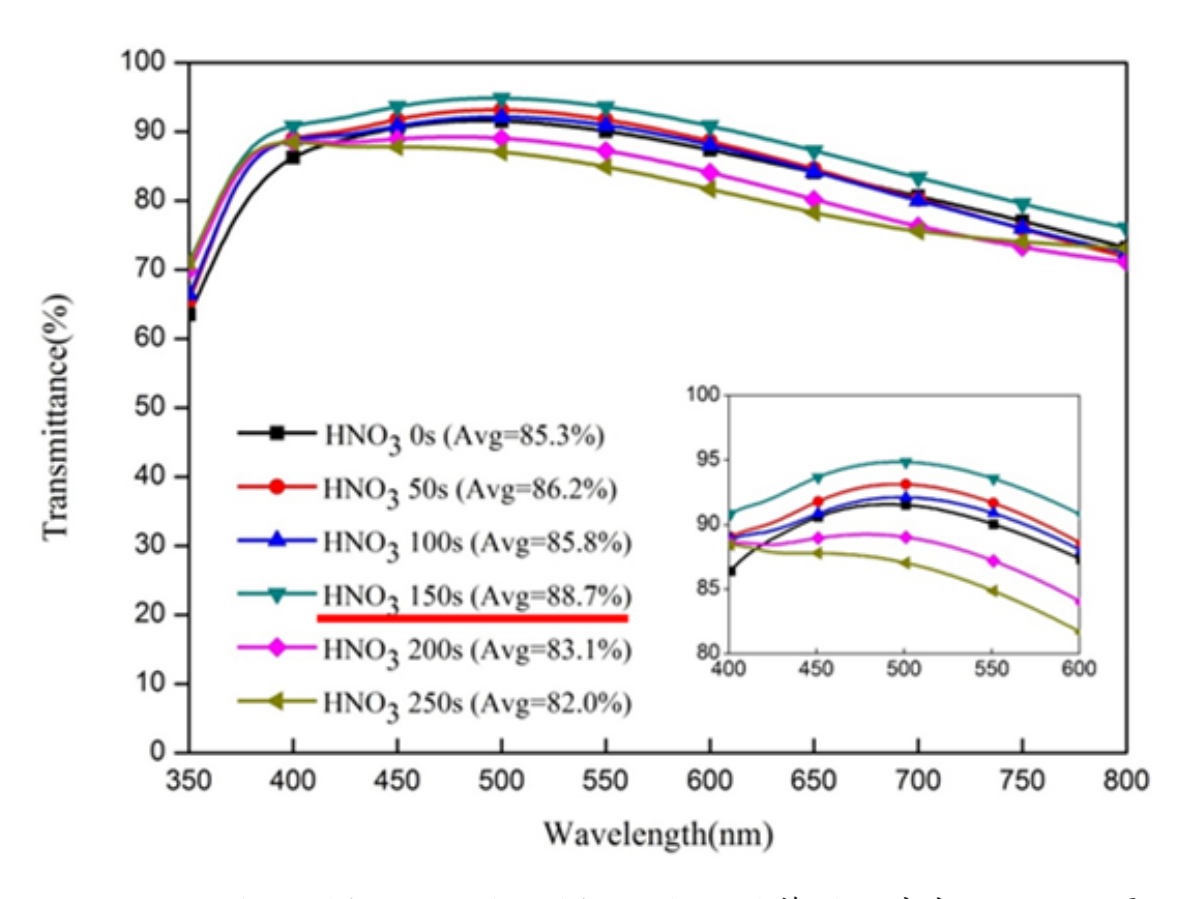


圖6、AZO(20nm)/nano-Ag(8nm)/AZO(20nm)薄膜,其中AZO種子層經過不同蝕刻參數後之穿透率圖

由於良好之透明導電薄膜需要兼具高導電率及高穿透性,因此為了找出兩者的最佳效益,將藉由Haacke[34]公式1求得了最佳光電效益(Figure of merit, $\Phi_{TC}$ )值

$$\Phi_{TC} = T^{10}/RS$$
 (公式1)[34]

其中Φ<sub>TC</sub> 單位為Ω<sup>-1</sup>, T為穿透率 (%), RS為片電阻(Ω/square)。圖7為藉由Haacke[34]公式1所計算出的不同蝕刻參數膜層之最佳光電效益指數。由圖可以觀察到,當奈米銀金屬層厚度在8nm時, AZO種子層經由150秒0.1%

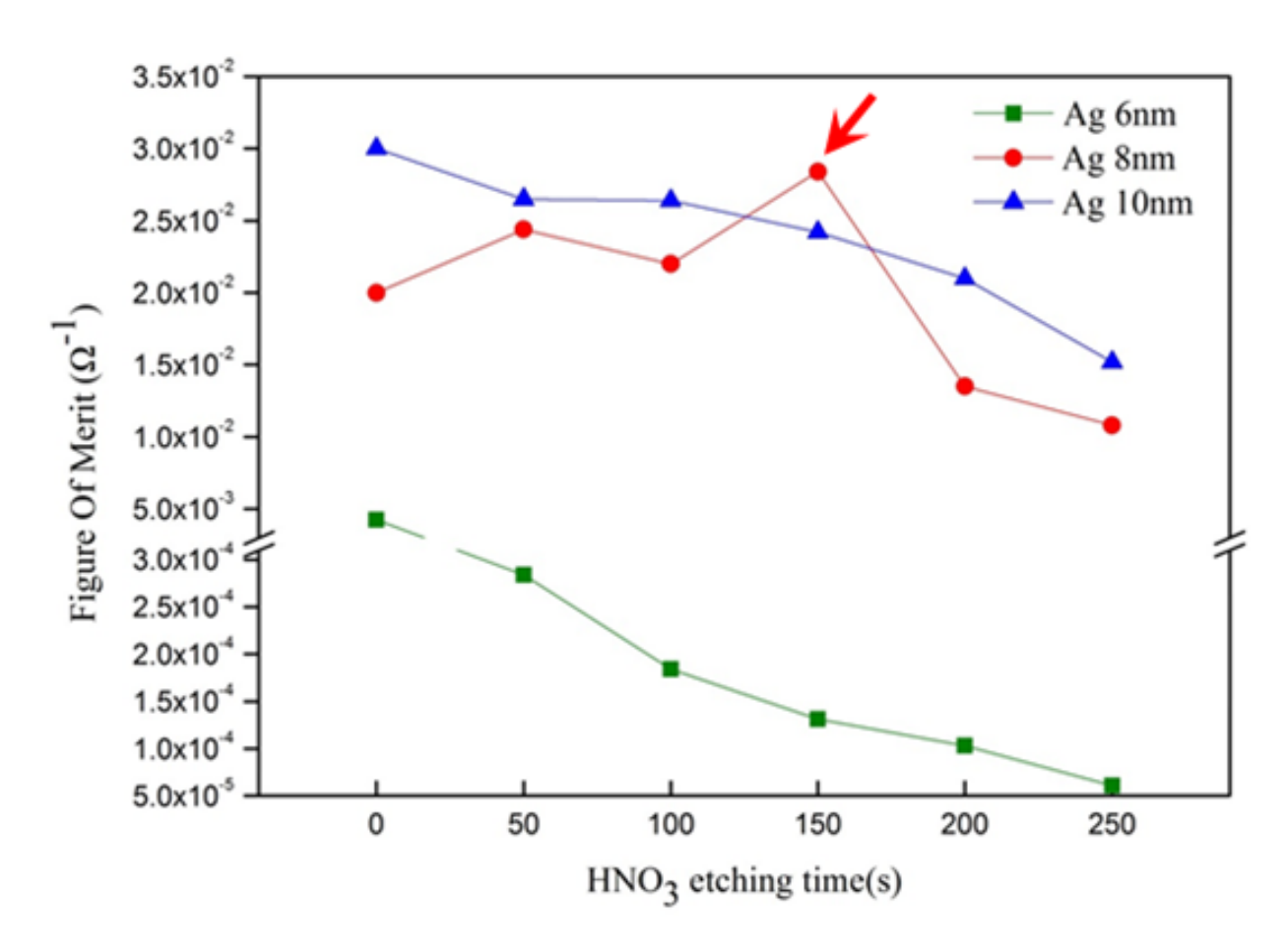


圖7、AZO(20nm)/nano-Ag(8nm)/AZO(20nm)薄膜,其中AZO種子層經過不同蝕刻參數後之最佳光電效益指數圖

#### 結論

藉由先在AZO種子層表面進行 微粗化製程,來適當引導中間銀金 屬層之奈米堆積分佈,以提升超薄 AZO(20nm)/nano-Ag(8nm)/AZO(20nm) 膜層光電特性研究中發現,當薄膜中 所置入的奈米銀金屬層厚度為8nm時, 且AZO種子層先經0.1%硝酸(HNO<sub>3</sub>) 150秒蝕刻後的微粗化結構具有最佳的 引導效果,使整體AZO薄膜的光電 益指數提升至2.84×10<sup>-2</sup>Ω<sup>-1</sup>,此時電效 益指數提升至2.84×10<sup>-2</sup>Ω<sup>-1</sup>,此時電 壓平均穿透率可高達88.7%,其光電效 益指數較AZO種子層未經蝕刻處理提 升約42%。且經實際應用於CIGS太陽 能電池,其轉換效率亦提升約1.8倍。

#### 態健

此研究工作之所以能順利完成, 主要感謝國家奈微米實驗室及義守大 學之研究計畫補助,計畫編號分別為 NDL100-C02M3-009以及 ISU101-01-06、ISU102-04-04。

## 參考文獻

- [1] D. R. Sahu, S. Y. Lin, and J. L. Huang(2008), Investigation of Conductive and Transparent Aldoped ZnO/Ag/Al-doped ZnO Multilayer Coating By Electron Beam Evaporation, *Thin Solid Films*, vol. 516, pp. 4728–4732.
- [2] J. Muller, B. Rech, J. Springer, and M. Vanecek (2004), TCO and light trapping in silicon thin film solar cells, *Solar Energy*, vol. 77, Issue 6, pp. 917–930.
- [3] O. Kluth, B. Rech, L. Houbena, S. Wieder, G. Schope, C. Beneking, H. Wagner, A. Loffl, and H.W. Schock (1999), Texture etched ZnO:Al coated glass substrates for silicon based thin film solar cells, *Thin Solid Films*, vol. 351, pp. 247-253.
- [4] M. A. Martinez, J. Herrero and M. T. Gutierrez (1997), Deposition of transparent and conductive Al-doped ZnO thin film for photovoltaic solar cells, *Sol. Energy Mater. Sol. Cells*, vol. 45, pp. 75-86.
- [5] H. Kim, A. Pique, J. S. Horwitz, H. Murata, Z. H. Kafafi, C. M. Gilmore

- and D. B. Chrisey (2000), Effect of aluminum doping on zinc oxide thin films grown by pulsed laser deposition for organic light-emitting devices, *Thin Solid Films*, vol. 377-378, pp. 798-802.
- [6] Z. A. Ansari, R. N. Karekar and R. C. Aiyer (1997), Humidity sensor using planar optical waveguides with claddings of various oxide materials, *Thin Solid Films*, vol. 305, pp. 330-335.
- [7] R. K. Shukla, Srivatava, Anchal, Srivastava, Atul, K. C. Dubey (2006), Growth of transparent conducting nanocrystalline Al doped ZnO thin films yb pulsed laser deposition, *Journal of Crystal Grown*, vol. 294, Issue 2, pp. 427-431.
- [8] B. Z. Dong, H. Hu, G. J. Fang, X. Z. Zhao, D. Y. Zheng, and Y. P. Sun (2008), Comprehensive investigation of structural, electrical, and optical properties for ZnO:Al films deposited at different substrate temperature and oxygen ambient, *Journal of Applied Physics*, vol. 103, pp. 073711.
- [9] H. Wang, J. Xu, M. Ren, and L. Yang

- (2008), Room temperature deposition and properties of ZnO:Al thin films by nonreactive DC magnetron sputtering, *Springer Link*, vol. 19, Issue 11, pp. 1135-1139,.
- [10] Y. P. Wang, J. G. Lu, X. Bie, Z. Z. Ye, X. Li, D. Song, X. Y. Zhao, and W. Y. Ye (2011), Transparent conductive and near-infrared reflective Cubased Al-doped ZnO multilayer films grown by magnetron sputtering at room temperature, *Applied Surface Science*, vol. 257, pp. 5966–5971.
- [11] G. J. Exarhos and X. D. Zhou (2007), Discovery-based sign of transparent conducting oxide films, *Thin Solid Film*, vol. 515, pp. 7025-7052.
- [12] T. R. Jensen, M. L. Duval, K. L. Kelly, A. A. Lazarides, G. C. Schatz, and R. P. Van-Duyne (1999), Nanosphere Lithography: Effect of the External Dielectric Medium on the Surface Plasmon Resonance Spectrum of a Periodic Array of Silver Nanoparticles, J. Phys. Chem. B, vol. 103, pp. 9846-9853.

- [13] H. W. Wu, R. Y. Yang, C. M. Hsiung, and C. H. Chu (2012), Influence of Ag thickness of aluminum-doped ZnO/Ag/aluminum-doped ZnO thin films, *Thin Solid Film*, vol. 520, pp. 7147-7152.
- [14] B. Sirota, J. Reyes-Cuellar, P. Kohli, L. Wang, M. E. McCarroll, and S. M. Aouadi (2012), Bismuth oxide photocatalytic nanostructures produced by magnetron sputtering deposition, *Thin Solid Film*, vol. 520, pp. 6118-6123.
- [15] T. Sekiguchi, N. Ohashi and Y.

  Terada (1997), Effect of

  Hydrogenation on ZnO

  Luminescence, Applied Physics

  Letter, vol, 36, L289.
- [16] D. L. Raimondi and E. Kay (1991), High Resistivity Transparent ZnO Thin Films, *Journal of Vacuum Science and Technology*, vol. 7, pp. 96-99.
- [17] S.S. Lin and J.L. Huang (2004),

  The effect of thickness on the properties of heavily Al-doped ZnO films by simultaneous rf and dc magnetron sputtering, *Ceramic*

- international, vol. 30, pp. 497-501.
- [18] M. Takata, D. Tsubone and H. Yanagida (1976), Dependence of electrical conductivity of ZnO on degree of sintering, *J. Am. Ceram. Soc.*, vol. 59, pp. 4-8.
- [19] H. Ryoken, I. Sakaguchi, N. Ohashi, T. Sekiguchi, S. Hishita, and H. Haneda (2005), Non-equilibrium defects in aluminum- doped zinc oxide thin films grown with a pulsed laser deposition method, *Journal of Materials Research*, vol. 20, pp. 2866-2872.
- [20] J. Hu and R. G. Gorden(1992),

  Textured aluminum doped zinc oxide thin films from atmospheric pressure chemical vapor deposition, *J. Appl. Phys.*, vol. 71, p. 880.
- [21] M. Anpo and T. Shima (1987),

  Photocatalytic hydrogenation of propyne with water on small-particle titania: size quantization effects and reaction intermediates, *J. Phys. Chem.*, vol. 91, pp. 4305-4310.
- [22] J. C. C. Fan, T. B. Reed, and J. B. Goodenough (1974), SAE Preprints Proceedings of Ninth Intersociety,

- Energy Conversion Engineering Conference, p. 341.
- [23]G. Leftheriotis, P. Yianoulis, and D. Patrikios (1997), Deposition and optical properties of optimized ZnS/Ag/ZnS thin films for energy saving applications, *Thin Solid Films*, vol. 306, pp. 92-99.
- [24] C. C. Lee, S. H. Chen, and C.
  C. Jaing (1996), Optical monitoring of silver-based transparent heat mirrors, *Applied Optics*, vol. 35, No. 28.
- [25] J. C. C. Fan, F. J. Bachner, G.
  H. Foley, and P. M. Zavracky (1974),
  Transparent heat-mirror films of TiO2/Ag/TiO2 for solar energy collection and radiation insulation,
  Appl. Phy. Lett. 26, pp. 693-695, 1974.
- [26] J. R. Morones, J. L. Elechiguerra, A. Camacho, K. Holt, J. B. Kouri, J. T. Ramírez and M. J. Yacaman (2005), The bactericidal effect of silver nanoparticles, *Nanotechnology*, vol. 16, Number 10.
- [27] Wasa, M. Kitabatake, and H. Adachi (2004), *Thin Film Materials*

- *Technology*, William Andrew.
- [28] J. Hupkes, B. Rech, S. Calnan, O. Kluth, U. Zastrow, H. Siekmann, and M. Wutting (2006), Material study on reactively sputtered zinc oxide for thin film silicon solar cells, *Thin Solid Films*, vol. 502, pp. 286-291.
- [29] M. Berginski, J. Hupkes, M. Schulte, G. Schope, H. Stiebig, and B. Rech (2007), The effect of front ZnO:Al surface texture and optical transparency on efficient light trapping in silicon thin-film solar cells, *J. Appl. Phys*, vol. 101, p074903..
- [30] J. Hupkes, B. Rech, O. Kluth, T. Repmann, B. Zwaygardt, J. Muller, R. Drese, and M. Wuttig (2006), Surface textured MF-sputtered ZnO films for microcrystalline silicon-based thin-film solar cells, *Sol. Energy Mater.*Sol. Cells, vol. 90, pp3054-3060.
- [31] H. Zhu, J. Hüpkes, E. Bunte, J. Owen, and S. M. Huang (2011), Novel etching method on high rate ZnO: Al thin films reactively sputtered from dual tube metallic targets for siliconbased solar cells, *Sol. Energy Mater.*

## 文摘

Sol. Cells, vol. 95, pp964-968.

- [32] L. Nzoghe-Mendome, A. Aloufy, J. Ebothé, and D. Hui, M. El Messiry (2009), Surface roughening and transport properties in the growth of nano-structured nickel electrodeposits on ITO substrate, *Materials Chemistry and Physics*, vol. 115, pp. 551-556.
- [33] K. H. Yoon, J. W. Choi, and D. H. Lee (1997), Characteristics of ZnO thin films deposited onto Al/Si substrates by r.f. magnetron sputtering, *Thin Solid Films*, vol. 302, pp. 116-121.
- [34] G. Haacke (1976), New figure of merit for transparent conductors, *Journal of Applied Physics*, vol. 47, pp. 4086-4089.



# 以食品級大豆油及大豆卵磷脂

製備薑黃素微乳液及其對肝癌細胞株

之毒性試驗

李玟槿1、沈智閔1、陳奂文2、紀明宏2

義守大學材料科學與工程學系<sup>1</sup>國立高雄大學化學工程及材料工程學系<sup>2</sup>

#### 摘要[1]

兩種不同平均粒徑的A及B包覆薑黃素之卵磷脂微乳液,探討A及B之微乳液劑型粒徑分別為30 nm及80 nm對肝癌細胞株HepG 2之效應。在A及B兩配方劑型之薑黃素濃度皆為15μM時,但因A劑型微乳液粒徑小,因此在對HepG2細胞株之活性比B劑型低約20%。,隨著不同時間在螢光顯微鏡下觀察,透透明HepG 2細胞確實將薑黃素微乳黃素體則HepG 2細胞株有毒性,包覆薑素微乳液香體的薑黃素微乳液卻對人類腎胚胎件的薑黃素微乳液卻對人類腎胚胎,但是在胚胎,但是在胚胎,但是在胚胎,但是在胚胎,但是在胚胎,但是在胚胎,是在基份質別數,是有數學人類腎胚胎,是在基份質別數,是有數學人類腎胚胎,是在一個數學人類腎胚胎,是在一個數學人類腎胚胎,是在一個數學人類腎胚胎,是在一個數學人類腎胚胎,是在一個數學人類腎胚胎,是在一個數學人類腎胚胎,是在一個數學人類腎胚胎,是在一個數學人類腎胚胎,是在一個數學人類腎胚胎,是一個數學人類腎胚胎,是一個數學人類腎胚胎,是一個數學人類腎胚胎,是一個數學人類腎胚胎,是一個數學人類腎上的生存率,本

研究證明大豆油及大豆卵磷脂製備黃素微乳液可以應用於保健食品及功能性食品上。

關鍵詞:薑黃素、微乳液、大豆油、 大豆卵磷脂、HepG2、毒性試驗

#### 簡介[1]

薑黃素是從天然產物薑黃得到多 酚類成分,對治療人類疾病不僅可作 為化學預防又兼具防癌之活性。在一 些臨床第一期研究報導,薑黃素是安 全且每人每天之劑量為12g [2, 3] [4]。 因為薑黃素不溶於水及微溶於有機溶 劑相中,因此薑黃素在體內口服生 體可利用率(bioavailability)是非常低 [5]。 即使在人體中生體可利用率是非 常低,但是在許多研究中仍以薑黃素 為研究對象,因為它仍對治療癌症、 心血管疾病、阿茲海默症(Alzheimer's disease)及克隆氏症(Crohn's disease)之 療效顯著[6]。在過去數十年,許多研 究方法都朝向如何增進薑黃素在體內 口服生體可利用率,例如薑黃素磷脂 體(liposomal curcumin)[7], 薑黃素奈米 粒子(curcumin nanoparticles)[8]及薑黃 素微乳液lcurcumin microemulsions [9-11]等不同劑型。

微乳液為水、油及界面活性劑混合 而自發形成穩定之載藥系統,其海瀬 粒徑小於100 nm,微乳液透光具有熱 力學、穩定性長及製備簡單之優點, 微乳液藥物傳輸系統為水溶性溶液 場別於穿透進入細胞或易於被細胞在 人物與乳液藥物度輸系統已已領域 中發展已逾四十年[12],因此製備油在 水中型o/w微乳液作為親脂性/難溶性藥 物輸送載體備受重視[11,13-17]。

在一般情形中,微乳液需要以含 量高的界面活性劑/共界面活性劑來 降低油水相界面張力,但是這會造成 細胞毒性的增加,而且一些人工合成 界面活性劑具有毒性,在許多國家不 准許使用在食品上。因此,使用於製 備食品級藥物微乳液之界面活性劑或 共界面活性劑選擇是被限制。近十餘 年來,以卵磷脂當作界面活性劑里 製備微乳液劑型,為食品及藥劑領 域可以接受之配方[9, 18-20], 而大豆 油不包含飽和脂肪酸與膽固醇,它在 全世界被廣泛流行使用在保健食品補 充劑中。Garti's 研究團隊報導製備食 品級微乳液使用中鏈甘油三酯或精鍊 油當作油相[21],非常難製備微乳液 使用,因為大豆油含有長鏈脂肪酸甘 油三酯,因為它相對於烴(碳氫化合物)為半極性,導致太難穿透界面膜以協助最佳曲率形成[22]。Mou等人研究製備大豆油、水、陰離子型和非離子型表面活性劑系統形成一偽三元微乳液相圖[23]使用大豆油和磷脂當作成分,並運用高壓均化器進行乳化,成功製備視黃酸微乳液(Retinoic acid microemulsions)及親脂性藥物奈米乳劑(lipophilic drugs nanoemulsion)[24]。

#### 實驗

#### 2. 1薑黃素微乳液的製備與穩定度測量

以不同比例的去離子水、大豆油、 大豆卵磷脂及Tween80界面活性劑及 薑黄素,放置在試管中充分混合,在 50°C使用磁石攪拌自發形成透明黃 色薑黃素微乳或無法形成薑黃素微乳 液製成擬相圖。將薑黃素微乳液放於 5°C,分別以粒徑分析儀(90Plus和 ZetaPlus,Brookhaven,New York) 測量薑黃素微乳液穩定度。

#### 2. 2. MTT (細胞毒性) 測試

在96-Well Plates中,將1x10<sup>6</sup>cells HepG2細細胞液加入每個well後,放入CO<sub>2</sub> incubator培養 24 hours,再加MTT 後放入CO<sub>2</sub> incubator 3 hours,抽掉後加入DMSO 避光 0.5 hours。最後用波長為570nm及620nm之ELISA reader測吸光值。

#### 結果與討論[1]

使用以不同成分比例製備包覆薑 黃之微乳液兩配方A及B,使用光散射 測量儀檢測AB兩配方微乳液之油滴粒 徑,分別製備有無包覆薑黃之AB兩配 方微乳液後,將其存儲放在5°C,觀 察粒徑變化,藉以得知微乳液之穩定 性。

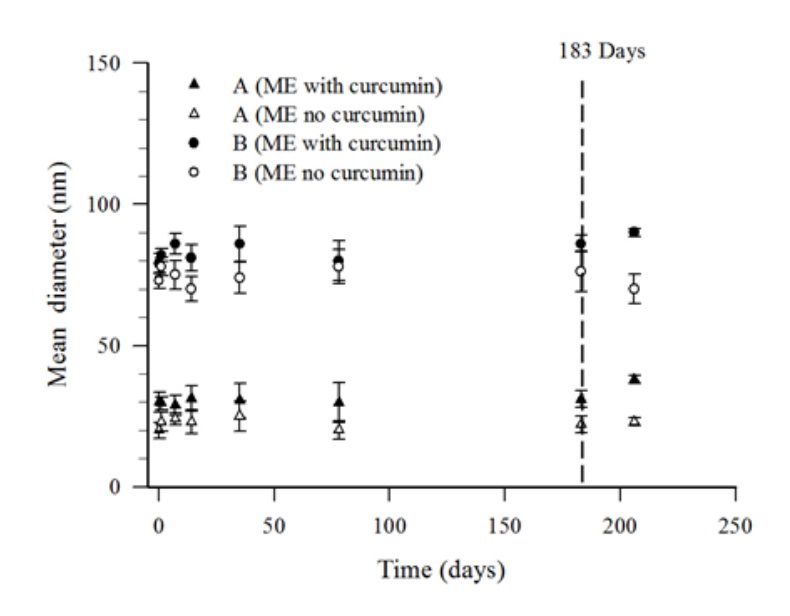


圖1、有無包覆薑黃之AB兩配方微乳液儲 放在5°C,微乳液隨存放天數與粒徑效應[1]

如圖1得知之A及B之平均粒徑分別 為29.95±2.78 nm 及80.02±3.29 nm, 發現有無包覆薑黃之AB兩配方微乳液 之平均液滴粒徑在六個月以上皆維持 定值,顯示這些配方微乳液至少在6個 月內油滴沒有產生任何聚集,因此平 均粒徑並無明顯變化,而薑黃素微乳 液可得到最大包覆容量為5.2毫克/毫 升。

薑黄素濃度從01~15 μM 對HepG2 細胞毒性試驗,發現薑黃素對HepG2 細胞的存活或生長無顯顯著影響,那 是因為薑黃素在水中的溶解性非常 差,導致對細胞無毒性。當薑黃素溶 解於0.5%DMSO中均勻加入於HepG2 細胞株,圖2結果顯示薑黃素在較高 濃度為15μM時,細胞生存率小幅度 降低10%,在MTT試驗中薑黃素溶於 DMSO對肝癌細胞株HepG2之生存率是 不顯著負。

接著,分別以包覆薑黃素之AB不同配方之微乳液對人類胚胎腎HEK293進行MTT細胞毒性試驗,探討包覆薑黃素微乳對人類正常細胞是否具有毒性,根據圖3結果顯示包覆薑黃素AB不同配方之微乳液,在薑黃素濃度15µM以下,對HEK293細胞的生長沒有顯著減少(存活率超過80%),顯示包覆薑黃素AB不同配方之微乳液對人類正常細胞細胞毒作用是不顯著的。

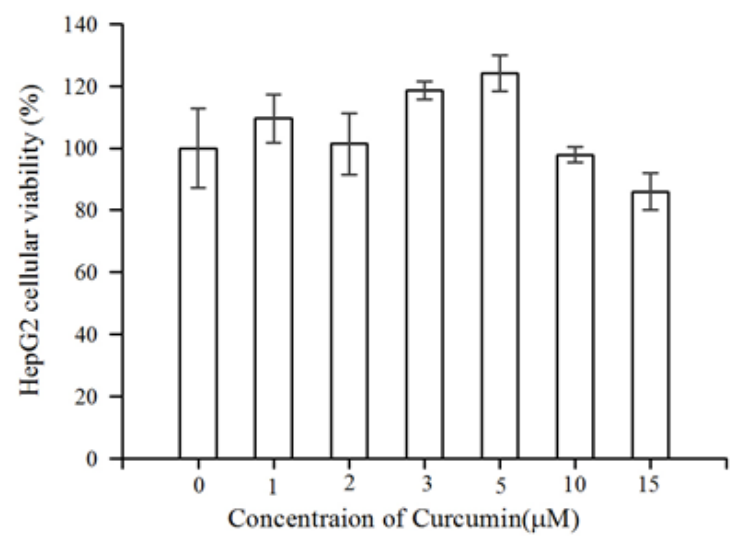


圖2、薑黃素濃度15μM以下 對肝癌細胞株HepG2 之生存率之效應[1]

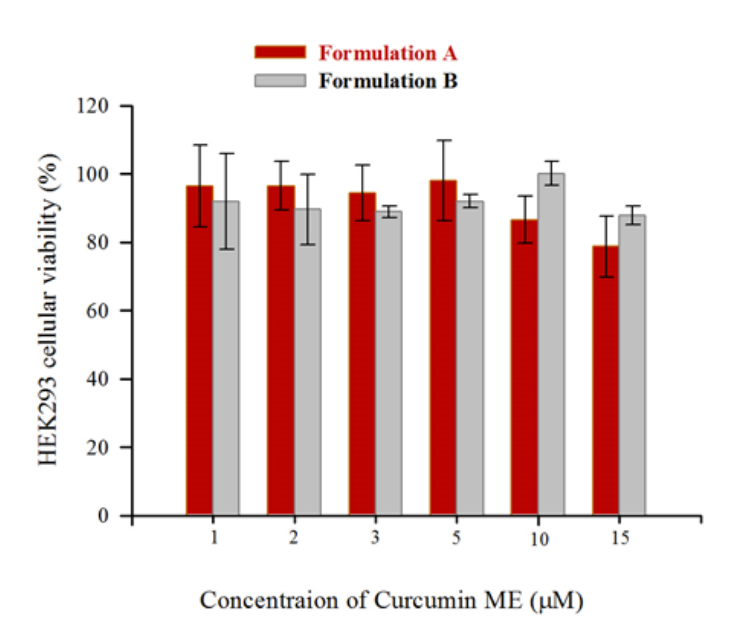
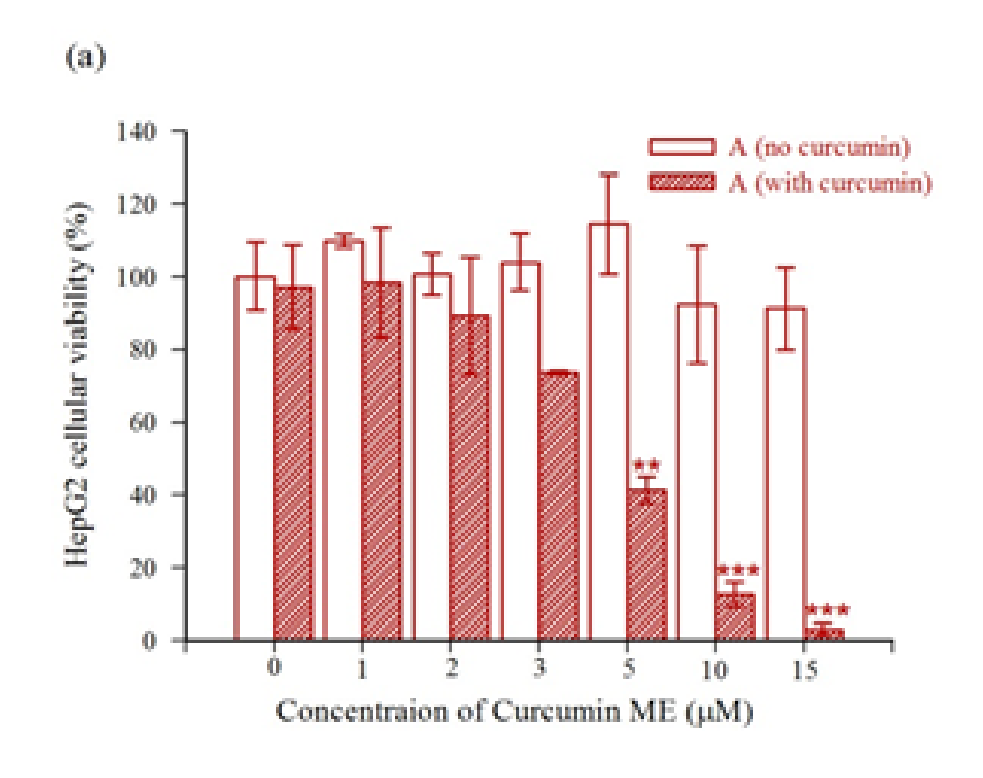


圖3、包覆薑黃素之AB不同配方之微乳液 對人類胚胎腎HEK293細胞生存率之效應

在薑黃素濃度為15μM時,製備AB 不同配方之包覆薑黃素微乳液,以磷 酸鹽緩衝鹽水稀釋成不同濃度,探討 AB不同配方之包覆薑黃素微乳液對 HepG2 細胞存活之影響,其結果如圖 4(a)(b)所示。圖4顯示即使A和B兩種配 方在低濃度對HepG2細胞毒性顯著, 另外,觀察A和B兩種配方劑量對細胞 毒性的反應,其中A配方薑黃素微乳液 在5μM表現出顯著毒性,而B配方薑黃 素微乳液卻在2μM則就顯出著毒性。 值得注意的是在薑黃素濃度為15μM 時,A配方薑黃素微乳液對HepG2 細 胞的存活率只剩下5%,而B配方薑黃 素微乳液對HepG2 細胞的存活率還有 38%,雖然兩配方微乳液粒徑為奈米

尺寸,但在薑黃素濃度大於5µM時, 配方A在濃度細胞毒性大於B配方,推 測是配方A粒徑比配方B小許多之故。 因為薑黃素具有綠色螢光,當薑黃素 濃度為15μM時,以AB不同配方之包 覆薑黃素微乳液分別加入HepG2 細胞 株,並以螢光顯微鏡在不同時間(8、 16及24小時)觀察其細胞影像,如圖5 所示。從圖5顯示兩配方內之HepG2細 胞內皆有螢光的油相薑黃素,但是配 方A的細胞內螢光較明顯,推測因為配 方A粒徑小,被HepG2細胞吞噬後微乳 液較易破裂,讓溶解在大豆油之薑黃 素釋放後聚集,容易被細胞吸收,造 成配方A對細胞毒性較高,這與圖4之 MTT試驗結果相吻合。



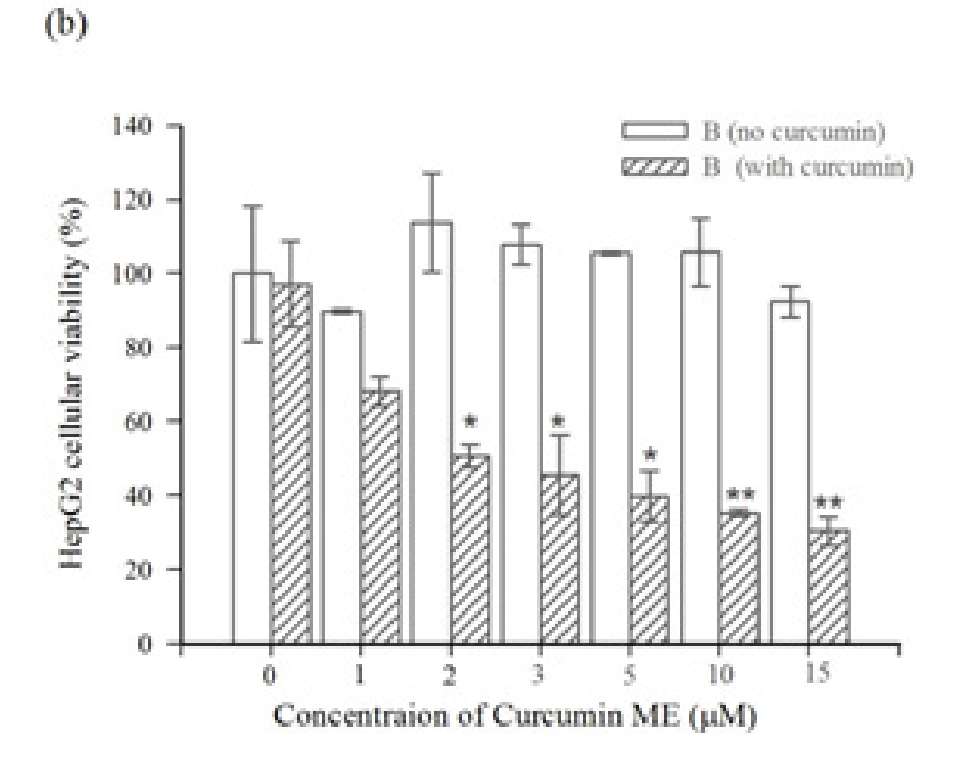


圖4、AB不同配方之包覆薑黃素微乳液 對HepG2細胞存活之影響[1]

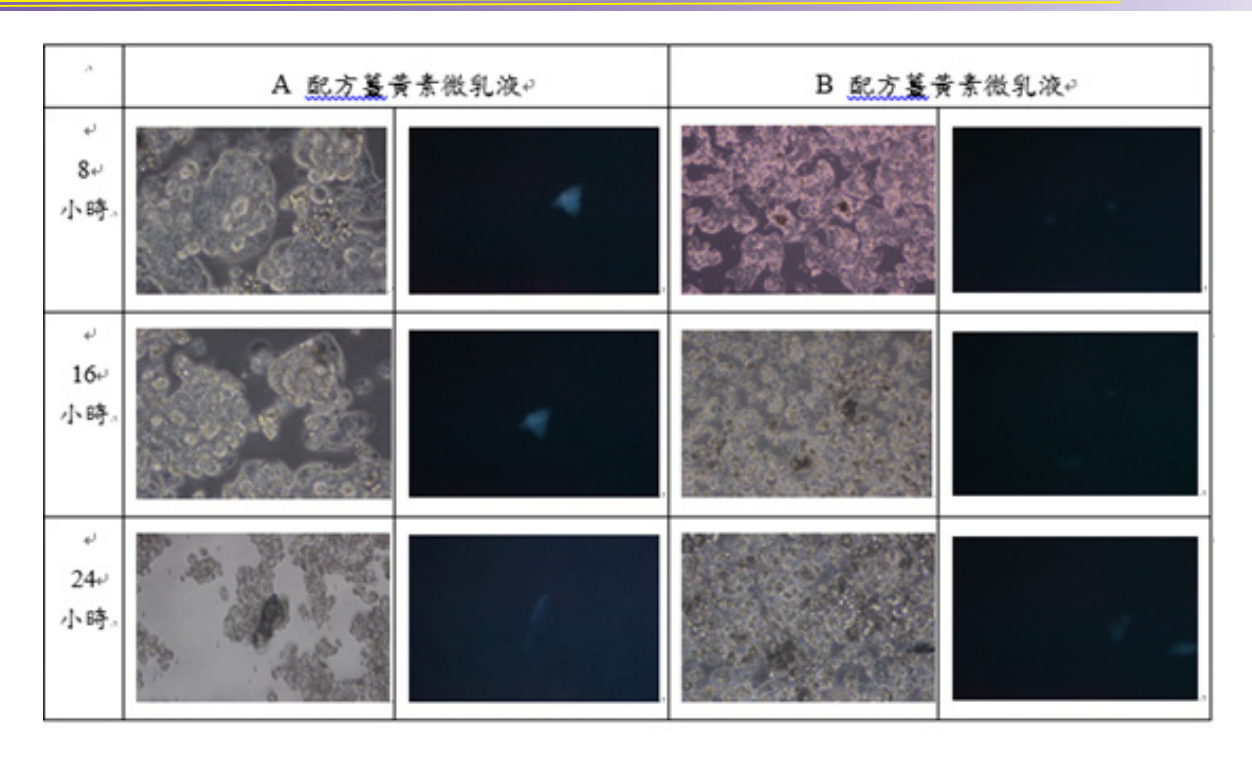


圖5、以螢光顯微鏡在不同時間(8、16及24小時)觀察 AB不同配方之包覆薑黃素微乳液對HepG2影像

#### 結論[1]

 液的濃度(配方A和B)分別為從1到 15μM,對人胚胎腎細胞(HEK293) 毒性比在HepG2細胞中低得多。此 外,使用食品級便宜原料製備微乳 液,不僅可降低成本及有利擴大規模 量產,這項研究結果可供保健品和功 能食品領域之創新應用技術。

#### 參考文獻

[1] C. C. Lin, H. Y. Lin, M. H. Chi, C. M. Shen, H. W. Chen, W. J. Yang, and M. H. Lee (2014), Preparation of curcumin microemulsions with foodgrade soybean oil/lecithin and their cytotoxicity on the HepG2 cell line,

- *Food Chemistry*, vol. 154, pp. 282-290.
- [2] A. Cheng, C. Hsu, J. Lin, M. Hsu, Y. Ho, T. Shen, J. Ko, J. Lin, B. Lin, W. Ming-Shiang, H. Yu, S. Jee, G. Chen, T. Chen, C. Chen, M. Lai, Y. Pu, M. Pan, Y. Wang, C. Tsai, and C. Hsieh (2001), Phase I clinical trial of curcumin, a chemopreventive agent, in patients with high-risk or premalignant lesions, *Anticancer Res*, vol. 21, no. 4B, pp. 2895 2900.
- [3] C. Lao, M. Ruffin, D. Normolle, D. Heath, S. Murray, J. Bailey, M. Boggs, J. Crowell, C. Rock, and D. Brenner (2006), Dose escalation of a curcuminoid formulation, *BMC Complementary and Alternative Medicine*, vol. 6, no. 10, pp. 1-4.
- [4] G. Shoba, D. Joy, T. Joseph, M. Majeed, R. Rajendran, and P. S. S. R. Srinivas (1998), Influence of Piperine on the Pharmacokinetics of Curcumin in Animals and Human Volunteers, *Planta Med*, vol. 64, no. 04, pp. 353 356.
- [5] V. Ravindranath and N.Chandrasekhara (1981), Metabolism

- of curcumin--studies with [3H] curcumin, *Toxicology*, vol. 22, no. 4, pp. 337 344.
- [6] B. B. Aggarwal and K. B. Harikumar (2009), Potential Therapeutic Effects of Curcumin, the Anti-inflammatory Agent, Against Neurodegenerative, Cardiovascular, Pulmonary, Metabolic, Autoimmune and Neoplastic Diseases, *Journal of Biochemistry & Cell Biology*, vol. 41, no. 1, pp. 40 59.
- [7] L. Li, F. S. Braiteh, and R. Kurzrock (2005), Liposome-encapsulated curcumin, *Cancer*, vol. 104, no. 6, pp. 1322 1331.
- [8] J. Shaikh, D. D. Ankola, V. Beniwal, D. Singh, and M. N. V. R. Kumar (2009), Nanoparticle encapsulation improves oral bioavailability of curcumin by at least 9-fold when compared to curcumin administered with piperine as absorption enhancer, *European Journal of Pharmaceutical Sciences*, vol. 37, no. 3 4, pp. 223 230.
- [9] M. H. Lee, H. Y. Lin, H. C. Chen, and J. L. Thomas (2008), Ultrasound

- Mediates the Release of Curcumin from Microemulsions, *Langmuir*, vol. 24, no. 5, pp. 1707 1713.
- [10] C. C. Lin, H. Y. Lin, H. C. Chen, M. W. Yu, and M. H. Lee (2009), Stability and characterisation of phospholipid-based curcuminencapsulated microemulsions, *Food Chemistry*, vol. 116, no. 4, pp. 923 928.
- [11] H. Y. Lin, J. L. Thomas, H. W. Chen, C. M. Shen, W. J. Yang, and M. H. Lee (2012), In vitro suppression of oral squamous cell carcinoma growth by ultrasound-mediated delivery of curcumin microemulsions, *International Journal of Nanomedicine*, vol. 7, pp. 941 951.
- [12] Y. S. R. Krishnaiah (2010),

  Pharmaceutical Technologies for
  Enhancing Oral Bioavailability of
  Poorly Soluble Drugs, *Journal of*Bioequivalence & Bioavailability,
  vol. 2, no. 2, pp. 28 36.
- [13] G. Bhatia, Y. Zhou, and A. K. Banga (2013), Adapalene microemulsion for transfollicular drug delivery, *Journal*

- of Pharmaceutical Sciences, vol. 102, no. 8, pp. 2622 2631.
- [14] M. Fanun (2012), Microemulsions as delivery systems, *Current Opinion in Colloid & Interface Science*, vol. 17, no. 5, pp. 306 313.
- [15] M. H. Lee, L. Kao, and C. C. Lin
  (2011), Comparison of the
  Antioxidant and Transmembrane
  Permeative Activities of the Different
  Polygonum cuspidatum Extracts in
  Phospholipid-Based Microemulsions,
  Journal of Agricultural and Food
  Chemistry, vol. 59, no. 17, pp. 9135 9141.
- [16] S. S. Solanki, B. Sarkar, and R. K.

  Dhanwani (2012), Microemulsion

  Drug Delivery System: For

  Bioavailability Enhancement of

  Ampelopsin, *ISRN Pharmaceutics*,

  vol. 2012, pp. 4 8.
- [17] K. Thanki, R. P. Gangwal, A. T. Sangamwar, and S. Jain (2013), Oral delivery of anticancer drugs: Challenges and opportunities, *Journal of Controlled Release*, vol. 170, no. 1, pp. 15 40.

## 文摘

- [18] D. Attwood, C. Mallon, and C. J.

  Taylor (1992), Phase studies
  on oil-in-water phospholipid
  microemulsions, International *Journal*of *Pharmaceutics*, vol. 84, no. 2, pp.
  R5 R8.
- [19] P. P. Constantinides (1995), Lipid Microemulsions for Improving Drug Dissolution and Oral Absorption: Physical and Biopharmaceutical Aspects, Pharmaceutical Research, vol. 12, no. 11, pp. 1561 1572.
- [20] N. Patel, U. Schmid, and M. J.

  Lawrence (2006), PhospholipidBased Microemulsions Suitable for
  Use in Foods, *Journal of Agricultural*and Food Chemistry, vol. 54, no. 20,
  pp. 7817 7824.
- [21] N. Garti, A. Aserin, E. Wachtel,
  O. Gans, and Y. Shaul (2001),
  Water solubilization in nonionic microemulsions stabilized by grafted siliconic emulsifiers, *Journal of Colloid and Interface Science*, vol. 233, no. 2, pp. 286 294.
- [22] A. G. Gaonkar and R. P. Bagwe(2003), Microemulsions in foods:Challenges and applications,

- Surfactant Science Series, vol. 109, pp. 407 430.
- [23] D. Mou, H. Chen, D. Du, C. Mao, J. Wan, H. Xu, and X. Yang (2008), Hydrogel-thickened nanoemulsion system for topical delivery of lipophilic drugs, *International Journal of Pharmaceutics*, vol. 353, no. 1 2, pp. 270 276.
- [24] S. R. Hwang, S. J. Lim, J. S. Park and C. K. Kim (2004), Phospholipid-based microemulsion formulation of all-trans-retinoic acid for parenteral administration, *International Journal of Pharmaceutics*, vol. 276, no. 1 2, pp. 175 183.



## 今非昔比的共享經濟



蔡璧如

義守大學 企業管理學系 助理教授

#### 何謂共享經濟

女口 今看來,共享經濟 (Sharing Economy, 或稱協同經濟, Collaborative Economy) 是個時髦名 詞。顧名思義,共享經濟是指與他人 共用或分享自己的物品, 而這樣的 行為能為個人帶來經濟上的利益。 Airbnb可說是共享經濟的成功代表。 Airbnb鼓勵人們將閒置不用的空間短 租給陌生人,透過其所架設的網站, 會員能將自己的居所租給別人一個或 兩個晚上,人們可以在全世界192個國 家,30000座城市裡租到這種與屋主共 享的房屋。該網站一個晚上便能搓合4 萬人次進行交易[1]。這種共享經濟方 興未艾且前景看好,其特點是強調個 人可以將閒置不用的私人物品出租給 他人來獲利,包含床位、汽車及其他 任何的資產。方法是透過共享網站在 網路、智慧型手機等個人終端機上所 建置的平台,會員能將個人的私人所 是張貼於網路上讓其他會員租借,或 是張貼自己需用物品的條件,以尋覓 是否能共享他人的物品。

#### 共享經濟的前身

然而,其實「共享」的概念由來已 久。「租賃」做為共享資源的商業模 式原本就是大家所孰悉的,小至出租 單本書籍的租書店、單張影碟的影視 出租店,到各式交通工具,包含自行 車、機車及汽車的租借,以及大型資 產如月租或年租形式的房屋租賃。

傳統的租賃業多屬於B2C (Business to Consumer)模式,也就 不過,業者為了方便管理這些出租 用的生財工具,通常要求承租者將物 品歸還至固定的地點。以租車為例 在甲地租車,就必須將車子歸還至日 大車共享(Car Sharing)提倡 一種對承租者而言非常方便的租用と 更加精算租用的時間。汽車共享已 更加精算租用的生意,譬如美國老牌 的汽車共享公司ZipCar,已在美國、加拿大、英國等地擁有一萬輛以上的 清車及超過81萬名的會員。ZipCar車 子的擺放點十分分散,就在一般路 時中越點十分分散,就在一般路 中的停放點十分合作車場內,的 中的停放點就是一間無人的,會 對店。使用者成為會員後,使用者 乙ipCar寄來的「感應卡」,使用者透 過網路地圖尋找最靠近自己的車子 預定後即能到現場憑感應卡取車。

台北市的Youbike、高雄市的公共 自行車,都是類似於汽車共享的概 念,租借站點多,使用者能甲地租乙 地還,只是經營者並非是私人企業而 是政府。

#### 共享經濟的瓶頸

共享其實是提高資源使用效率的好 方法。在地球人口膨脹而資源有限的 情況底下,應是非常值得發展的商業 模式。

由企業主導的共享經濟商業模式, 首推產品服務系統(Product-Service System, PSS),上述的汽車共享 ZipCar即為一例。產品服務系統包含 了實體的產品與無形的服務,這套產 品與服務的組合必須能在滿足消費者 的需求的同時,亦能夠降低對環境的 損害程度。產品服務系統欲將過去以 銷售「產品」為主的商業模式,轉變 為以銷售「功能」為主的商業模式, 它提供消費者所需的功能與效益,但 產品的所有權屬於產品與服務的提供 者,而消費者僅有使用權。

產品服務系統提倡的是企業應從 提供商品的思維,轉變為提供商品的 「服務」的模式,實體商品自始至終 都屬於企業,也就是延長生產者責 任。在此模式下,企業才有可能發展 容易維護且容易回收的商品。

然而,產品服務系統發展十餘年, 仍然無法對大量生產、大量消費、大 量廢棄的工商社會產生巨大的變革。 究其原因,咸認為不同產業所發展的 產品服務系統之間的差異過大,不易 模仿複製之外,來自製造商的抵制亦

#### 共享經濟的赤來

新一波的共享經濟夾帶著網路科 技及智慧型手機的威力,開啟了C2C (Consumer to Consumer)的租賃模 式。誠然,網路科技的運用對共享經 濟起了推波助瀾的功效,但真正帶來 改變的是其實是「服務內容」概念上 的轉變,也就是消費者個人願意將自 己的物品出租給他人來獲利。因此, 與其說新興之共享經濟能提高資源的 使用效率,不如說是其服務內容能為 個人的閒置資產產生利潤。當然,如 果整個社會風氣盛行向他人暫時租借 臨時需用的物品,則可能促使人們選 購耐用且不退流行的好商品,或許真 能降低一次性商品的使用量,進而推 動永續經濟的發展。

### 文摘

#### 參考文獻

- [1] 黃維德(2013年3月11日)。 共租衝浪板、床位…共享經濟崛 起!**天下雜誌Web Only**。取自 http://www.cw.com.tw/article/article. action?id=5047724
- [2] 王文娟、林俊旭、胡憲倫、溫麗 琪、羅時芳(2007)。**產品服務化** 對資源使用效益提升之探討。行政 院環境保護署2006年委託研究報告 (編號0842)。
- [3] O. Mont, (2004). Institutionalisation of sustainable consumption patterns based on shared use. *Ecological Economics*, vol. 50(1-2), pp. 135 153.





### 義大醫院

顏面外傷的團隊醫療

主講人:義大醫院牙科部 陳志宇醫師

日期: 103年10月4日(六)

地點: 義大醫院六樓會議廳

Challenges in Managing Severe and Unusual Poisonings

主講人:中華民國毒物學會鄧昭芳理事長 / 台北榮民總醫院

內科部臨床毒物科主治醫師

日期: 103年10月9日(四)

地點: 義大醫院六樓會議廳

個人防護具穿脫流程(含洗手)演練與評核

主講人:義大醫院感染管制科 趙雪嵐感染管制師

日期: 103年10月11日(六)

地點: 義大醫院六樓會議廳

太極拳氣功於身心靈應用的介紹及整合型計劃的說明

主講人:義大醫院神經科 李連輝醫師

日期: 103年10月25日(六)

地點: 義大醫院六樓會議廳

My way to hip arthroscopic surgery:introduction, clinical application and related researches

主講人:長庚紀念醫院林口醫學中心骨科部教授暨

運動醫學骨科詹益聖主任

日期: 103年11月08日(六)

地點: 義大醫院六樓會議廳

#### 臨床抗生素使用原則

主講人:義大醫院感染科 鍾幸君醫師

日期: 103年11月22日(六)

地點: 義大醫院六樓會議廳



### 義守大學

Aminoglycoside antibiotic, Streptothricin: Biosynthesis and Pathway Engineering

主講人: 中央研究院基因體中心 張晉源博士後研究員

主辦單位:生物科技學系

日期: 103年10月01日(三)

地點: 義守大學醫學院A棟0101室

高分子奈米材料的潤濕與不穩定現象研究

Wetting and Instability Studies of Polymer Nanomaterials

主講人: 國立交通大學應用化學系 陳俊太副教授

主辦單位:材料科學與工程學系

日期: 103年10月08日(三)

地點: 義守大學綜合教學大樓50201字

熱帶醫學與國際衛生-我在馬拉威的5年經驗

主講人: 財團法人屏東基督教醫院 范思善醫務副院長

主辦單位:健康管理學系

日期: 103年10月15日(三)

地點: 義守大學醫學院A棟0101室

#### 漫談健康管理

主講人: 高雄市政府衛生局健康管理科 李素華科長

主辦單位:健康管理學系

日期: 103年10月22日(三)

地點: 義守大學醫學院A棟0101字

金屬玻璃多層複合薄膜之特性與應用

Characterization and application of multilayered thin film metallic glasses

主講人: 國立中山大學材料與光電科學學系

黃志青講座教授

主辦單位:材料科學與工程學系

日期: 103年10月22日(三)

地點: 義守大學綜合教學大樓50201室

超音波造影教學暨其應用方向

主講人: 義守大學醫學影像暨放射科學系 陳泰賓副教授

主辦單位:醫學影像暨放射科學系

日期: 103年10月22(三)-23日(四)

地點: 福誠高中

#### 2014傳播與媒體生態學術研討會

主講人: 美國在台協會發言人 Mark Zimmer(金明)先生

主辦單位:大眾傳播學系

日期: 103年10月31(五)

地點: 義守大學 國際學院4樓

相關連結:http://www.dmc.isu.edu.tw/interface/

showdoc.php?dept\_id=12&levelid=14921&dept\_mno=84202

#### 熱電材料的研究與應用

The study and application of thermoelectric materials

主講人: 國立清華大學材料工程學系 曾駿逸博士

主辦單位:材料科學與工程學系

日期: 103年11月19日(三)

地點: 義守大學綜合教學大樓50201字

#### 

SiGe nano-thermoelectrics

主講人: 國立中央大學材料科學與工程研究所 李勝偉教授

主辦單位:材料科學與工程學系

日期: 103年12月03日(三)

地點: 義守大學綜合教學大樓50201室

#### 醫事放射師職場能力之學習與培養

主講人: 義守大學醫學影像暨放射科學系 黃詠暉助理教授

主辦單位:醫學影像暨放射科學系

日期: 103年12月17日(三)

地點: 義守大學醫學院A棟0102室



### 科技部消息

\*徵求自然司「卓越領航研究計畫」

為塑造世界一流的自然科學研究學者與團隊,為4年期之個別或整合型研究計畫。

訊息相關網址:http://www.most.gov.tw/wlp.aspx?CtUnit=735&mp=1&CtNode=1679

計畫截止日:103年10月01日(三)下午6時止

\* 公開徵求 2015-2017年度臺法(MOST-INRIA)聯合團隊人員 交流計畫

科技部與法國國家資訊暨自動化研究院 (Institut national de recherche en informatique et en automatique, INRIA) 於2011 年重新簽署科學合作協定,雙方議定以共同補助 INRIA 下的聯合團隊計畫 (INRIA Associate Team Program) 及實習計畫 (INRIA Internships Program) 兩項方案來促進我國研究團隊與INRIA 計畫團隊相關領域之尖端合作,期能強化雙方研究機構的科學潛力並培訓兩國的學生。

訊息相關網址:http://www.most.gov.tw/wlp.aspx?CtUnit=735&mp=1&CtNode=1679

計畫截止日:103年10月01日(三)

#### \*科技部食品工程產學合作計畫專案申請案

科技部為促進學術界資源能更有效與我國產業界結合並提升 研究成果之應用價值,乃是科技部產學合作計畫之業務推動 方向,近年來在政策之適時調整和學界自身之覺醒,產學合 作計畫數量大幅成長,從培育人才及技術提升的角度,學術 研發成果導入產業界獲得極佳成效。

訊息相關網址:http://www.most.gov.tw/wlp.aspx?CtUnit=735&mp=1&CtNode=1679

計畫截止日:103年10月20日(一)

\*科技部徵求參與美國NSF 國際研究和教育合作夥伴計畫 (Partnerships for International Research and Education, PIRE)

訊息相關網址:http://www.most.gov.tw/wlp.aspx?CtUnit=735&mp=1&CtNode=1679

計畫截止日:103年10月21日(二)

\*徵求104年度「補助人文及社會科學研究圖書計畫」

為充實國內人文及社會科學研究圖書設備,協助相關學院或 系所建立有特色之研究圖書典藏。

訊息相關網址:http://www.most.gov.tw/wlp.aspx?CtUnit=735&mp=1&CtNode=1679

計畫截止日:103年11月14日(五)下午5時止

### 產學消息

- \* 經濟部技術處「鼓勵中小企業開發新技術計畫」(SBIR)
- 1.SBIR計畫就是「小型企業創新研發計畫(Small Business Innovation Research)」,它是經濟部為鼓勵國內中小企業加強創新技術或產品的研發,依據「經濟部促進企業開發產業技術辦法」所訂定的計畫,期望能以此協助國內中小企業創新研發,加速提升中小企業之產業競爭力,以迎接面臨之挑戰。
- 2.申請資格:依公司法設立之中小企業。
- 3.受理期間:計畫為政府持續推動與支持之計畫,廠商可隨時提出申請,並無特定的申請截止日期。
- 4.相關連結:http://www.sbir.org.tw/SBIR/Web/Default.aspx



- \* 經濟部工業局「主導性新產品開發輔導計畫」
- 1. 政府為鼓勵民營事業研究開發主導性新產品,發展高科技 之新興產業,提升技術層次,調整工業結構,提高國際 競爭力,促進經濟成長,依據行政院「加速製造業升級 及投資方案」第三項措施「加速資本及技術密集工業之發 展」,訂定「主導性新產品開發輔導辦法」,以提供研究 開發補助經費方式,鼓勵國內新興高科技工業具有研究發 展潛力之廠商,參與本項輔導計畫。
- 2. 申請資格:依公司法設立之公司(詳細資格請參閱網站)。
- 3. 受理期間:計畫為政府持續推動與支持之計畫,廠商可隨時提出申請,並無特定的申請截止日期。
- 4.相關連結:http://outstanding.itnet.org.tw/
- \* 經濟部技術處「業界科專計畫」(ITDP)
- 1.為鼓勵企業從事技術創新及應用研究,建立研發能量與制度,經濟部開放企業界申請「業界科專」計畫,藉以政府的部分經費補助,降低企業研發創新之風險與成本,且研發成果歸廠商所有,以積極鼓勵業者投入產業技術研發工作,在業界提出申請及執行計畫過程中,輔導業界建立研發管理制度、強化研發組織、培育及運用科技人才、誘發廠商自主研發投入與後續投資,並促進產、學、研之間的

交流與合作,健全業界整體發展能力,達到政府「藏技於 民」的美意。

- 2.申請資格:依公司法設立之本公司或從事與創新服務研究 發展活動相關具稅籍登記之事務所及醫療法人、財務健 全、其專業團隊具從事提供 知識之創造、流通或加值之工 作經驗且有實績者,均可提出計畫申請。
- 3.受理期間:計畫為政府持續推動與支持之計畫,廠商可隨時提出申請,並無特定的申請截止日期。
- 4.相關連結:http://innovation1.tdp.org.tw/index.php
- \* 經濟部工業局「協助傳統產業技術開發計畫」(CITD)
- 1.為落實照顧傳統產業政策,經濟部工業局度積極透過「協助傳統產業技術開發計畫」,將近投入新台幣4億元,協助並鼓勵傳統產業進行新產品開發、產品設計及聯合開發, 預計將嘉惠290家以上傳統產業業者,提升其競爭力。
- 2.申請資格:須為民間傳統產業業者(詳細資格請參閱網站)。
- 3.受理期間:每年兩次,約為12月~隔年1月、4月~5月。
- 4.相關連結:http://www.citd.moeaidb.gov.tw/CITDweb/Web/Default.aspx

- \* 行政院國家科學委員會「補助產學合作研究計畫」
- 1.整併原有的大產學、小產學及數位產學相關補助要點, 並建構產業需求導向之產學合作模式,以整合運用研發資源,發揮大學及研究機構之研發力量,以期能透過產學的 團隊合作與相互回饋的機制,提升國內科技研發的競爭力。分為「先導型」、「應用型」及「開發型」計畫。

#### 2.申請資格:

- ●申請機構(以下稱計畫執行機構):係指公私立大專校院、公立研究機構及經本會認可之財團法人學術研究機構。
- ●合作企業:係指依我國相關法律設立之獨資事業、合夥事業及公司,或以營利為目的,依照外國法律組織登記,並經中華民國政府認許,在中華民國境內營業之公司,並以全程參與本會產學合作研究計畫為原則。

#### 3.受理期間:

- ●先導型產學合作計畫,申請日期約為每年2月。
- ●應用型產學合作計畫,申請日期約為2月及5月。
- ●開發型產學合作計畫,申請日期約為2月、5月及10月。
- 4.相關連結:http://rd.tnua.edu.tw/datas/attachments/103/1011300226-4.pdf

- \* 行政院國家科學委員會「產學技術聯盟合作計畫(產學小聯盟)」
- 1.鑑於過往學術研究成果與業界之間的落差,且國內產業界以中小企業為多,亟需研發能量挹注,本會透過本專案鼓勵學術界研究人員以其過去研發之成果為主軸,提出協助與服務產業界為目標之計畫(可由單一或多位研究人員提出),將其所累積之研發能量,藉由業界的參與共同組成會員形式之產學技術聯盟,有效落實產學之間互動,提昇業界競爭能力。

#### 2.申請資格:

申請機構(以下稱計畫執行機構):公私立大專院校及公立研究機關(構)。

計畫主持人及共同主持人之資格:比照本會補助專題研究計畫作業要點第三點規定。

#### 3.受理期間:

計畫申請人於每年12月中前研提正式計畫申請書(線上申請)。

4.相關連結:http://www.most.gov.tw/public/Data/ 392416404771.pdf

- \* 行政院國家科學委員會「前瞻技術產學合作計畫(產學大聯盟)」
- 1.為引導學界研發能量投入產業界,協助產業升級,本會特 與經濟部共同推動補助「前瞻技術產學合作計畫」,以鼓 勵國內企業籌組聯盟,有效縮小產學落差,促使大專校院 及學術研究機構與國內企業共同投入前瞻技術研發,以強 化關鍵專利布局、產業標準建立或系統整合,並協助國內 企業進行長期關鍵技術研發人才培育。

#### 2.申請資格:

- ●申請機構必須為國內公私立大專院校及公立研究機構,或 經本會認可之財團法人學術研究機構及醫療社團法人學術 研究機構。
- ●申請人須符合「行政院國家科學委員會補助專題研究計畫 作業要點」規定之計畫主持人資格。
- 3. 受理期間:每年12月左右。
- 4.相關連結:http://www.moea.gov.tw/Mns/DOIT/
  technologylaws/wHandTechnologyLaws\_File.ashx?laws\_
  id=32&serial no=1





### 義守大學 研究發展處

84001 高雄市大樹區學城路一段1號

電話:07-657-7711

傳真: 07-657-7471

Mail: research@isu.edu.tw

# 数大醫院 E-DA HOSPITAL I-SHOU UNIVERSITY

#### 義大醫院 醫學研究部醫學教育部

82445 高雄市燕巢區角宿里義大路1號

電話: 07-615-0011

傳真: 07-615-5352

Mail: ed103390@edah.org.tw

ed100075@edah.org.tw

發行人: 蕭介夫 校長

總編輯: 林麗娟 副校長

陳立軒 研發長

編輯部: 張慧柔組長、朱堃誠組長、

許世宏先生、王依雯小姐

杜元坤 院長

蔡淳娟 副院長

沈德村 特別助理

陳素婷副課長、鄭靜茹小姐、

陳麗芬小姐

